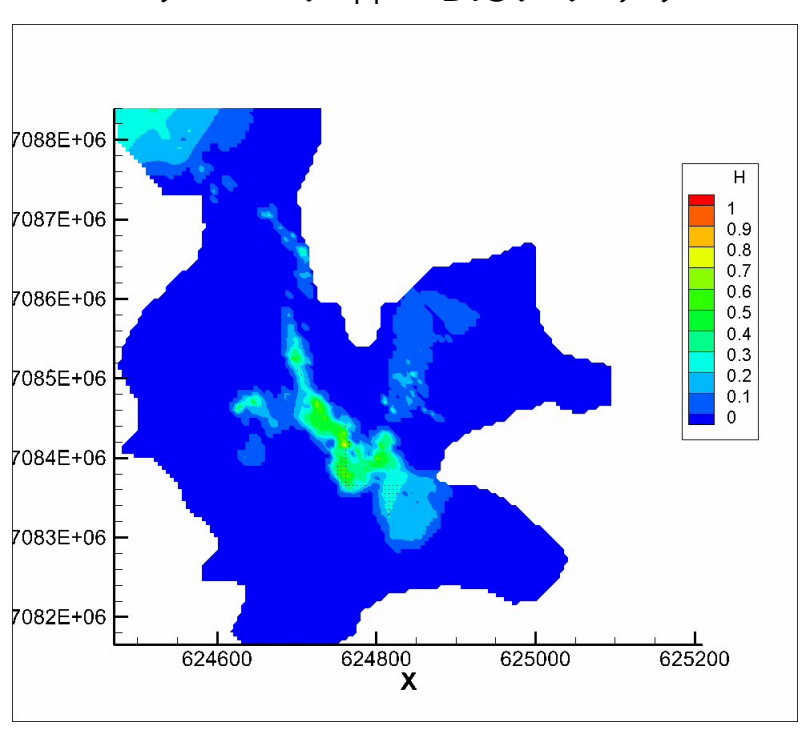
伊勢湾流域圏・木曽三川流域における水文環境と 気候変動

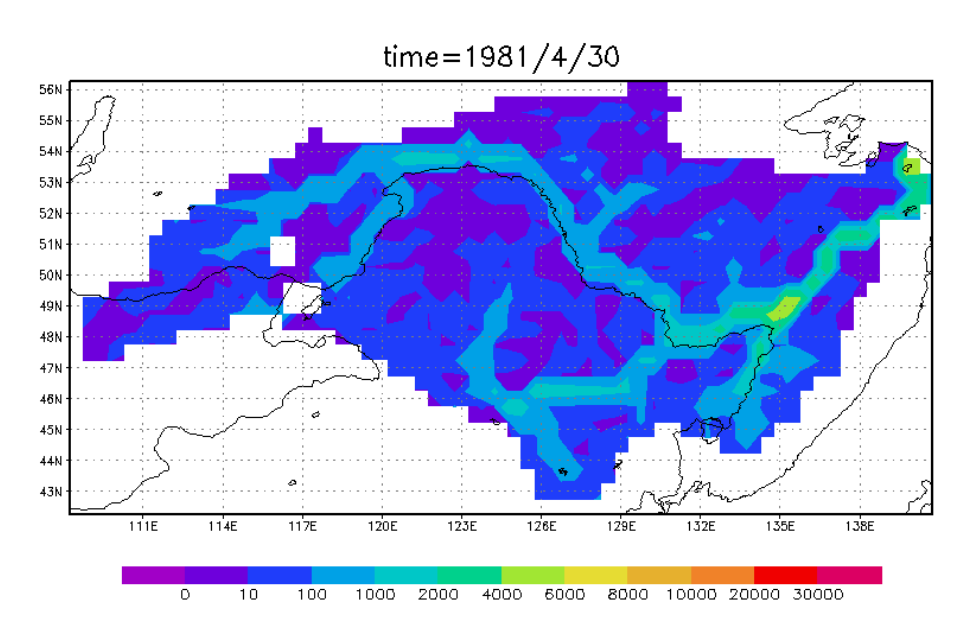
大西健夫 岐阜大学応用生物科学部 流域管理学研究室

水文学

マングローブ林のDICフラックス

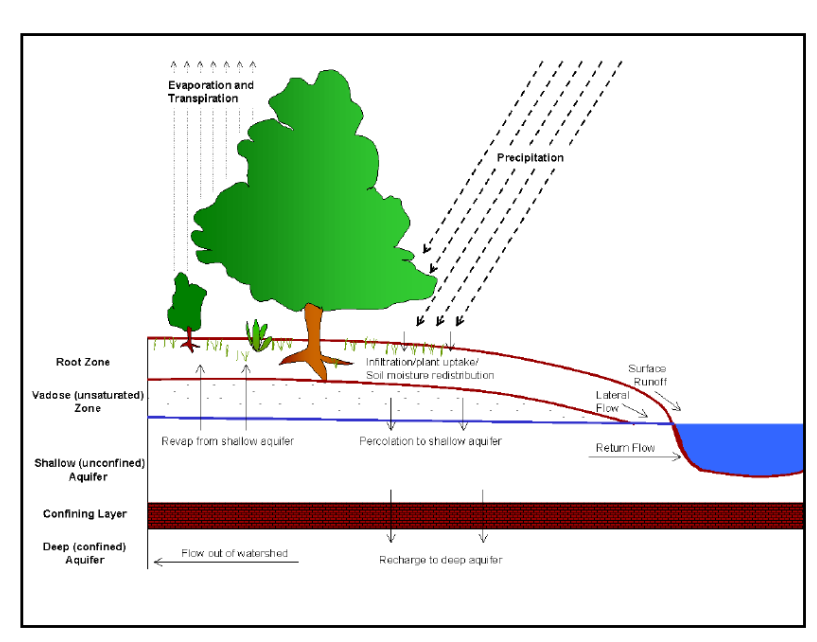


アムール川流域からの鉄フラックス



GrADS: COLA/IGES

SWATを使用したモデル研究



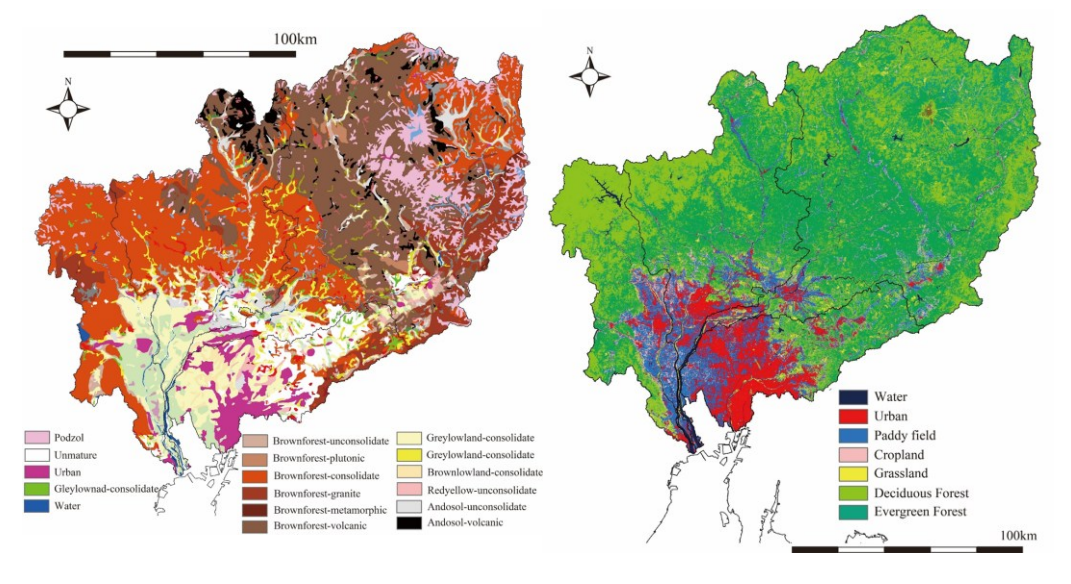


Figure 0.3: Schematic representation of the hydrologic cycle.

NITROGEN

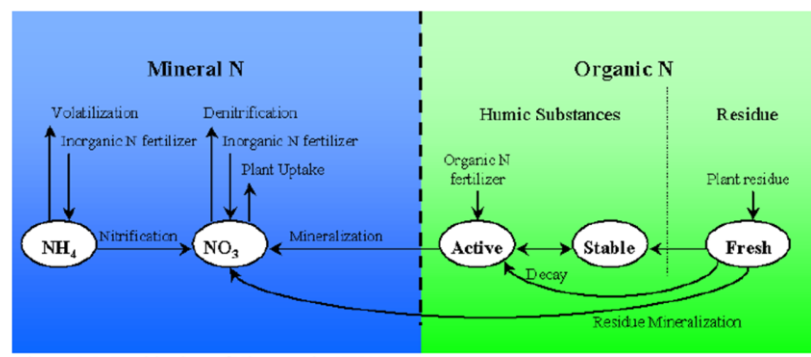
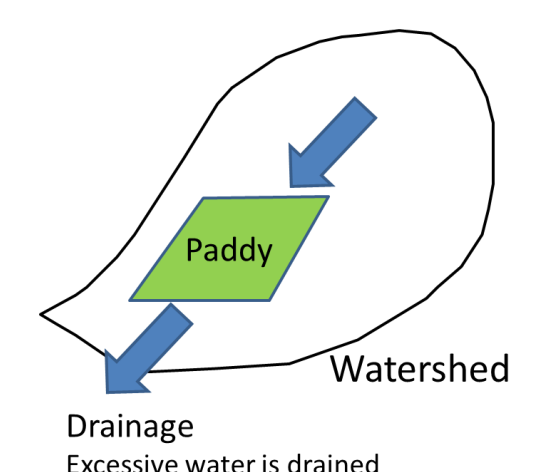
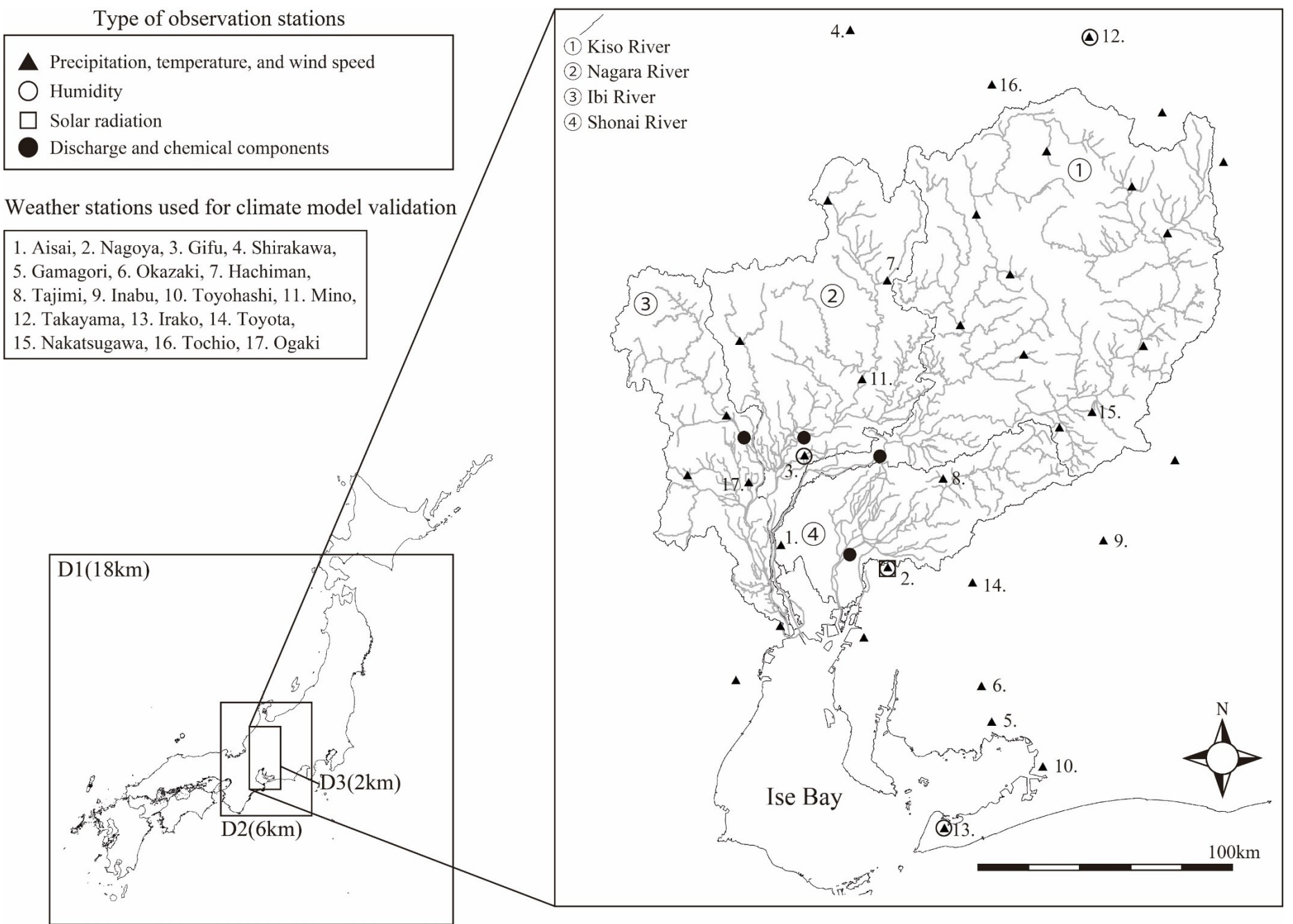
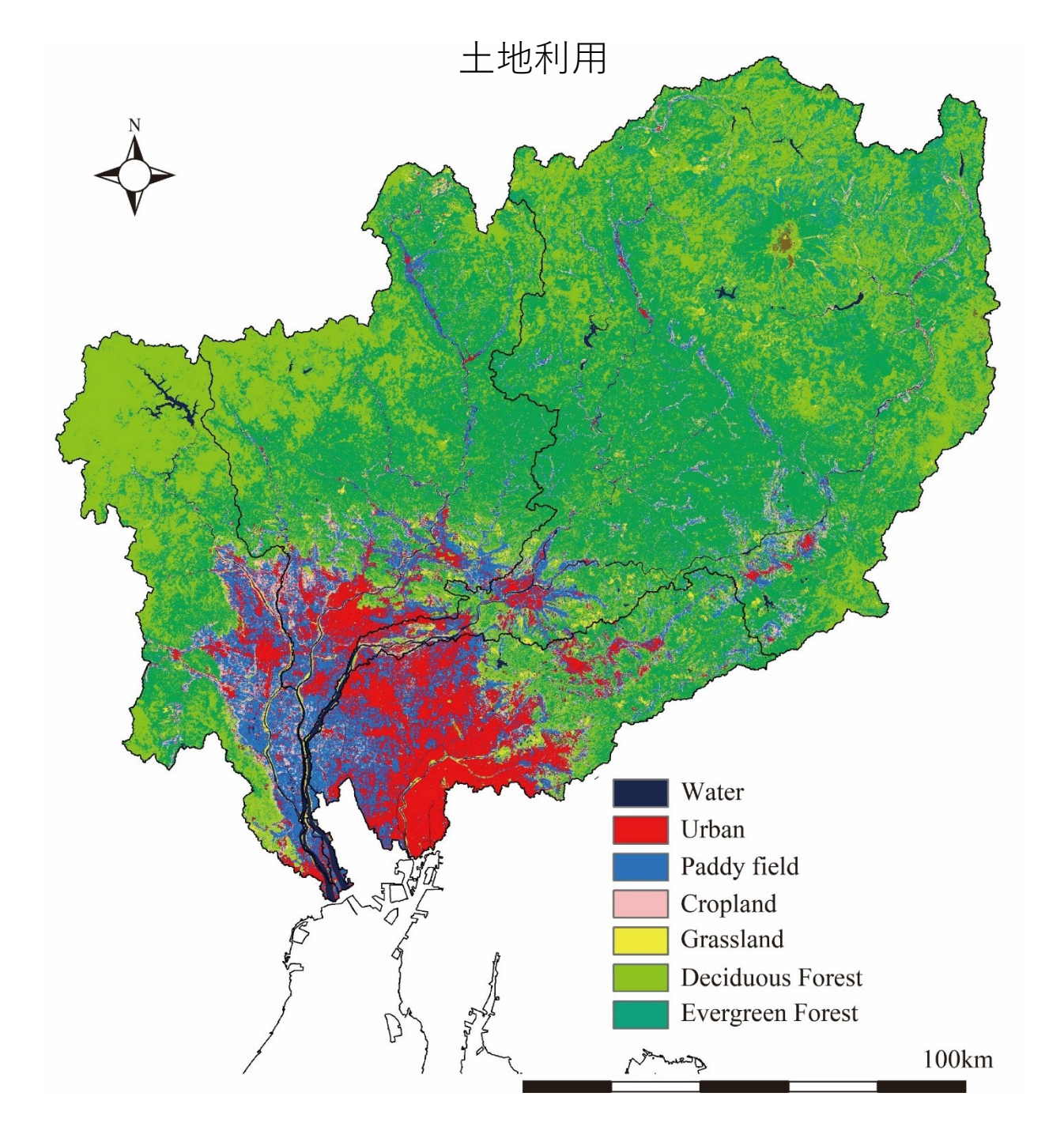


Figure 0.6: Partitioning of Nitrogen in SWAT

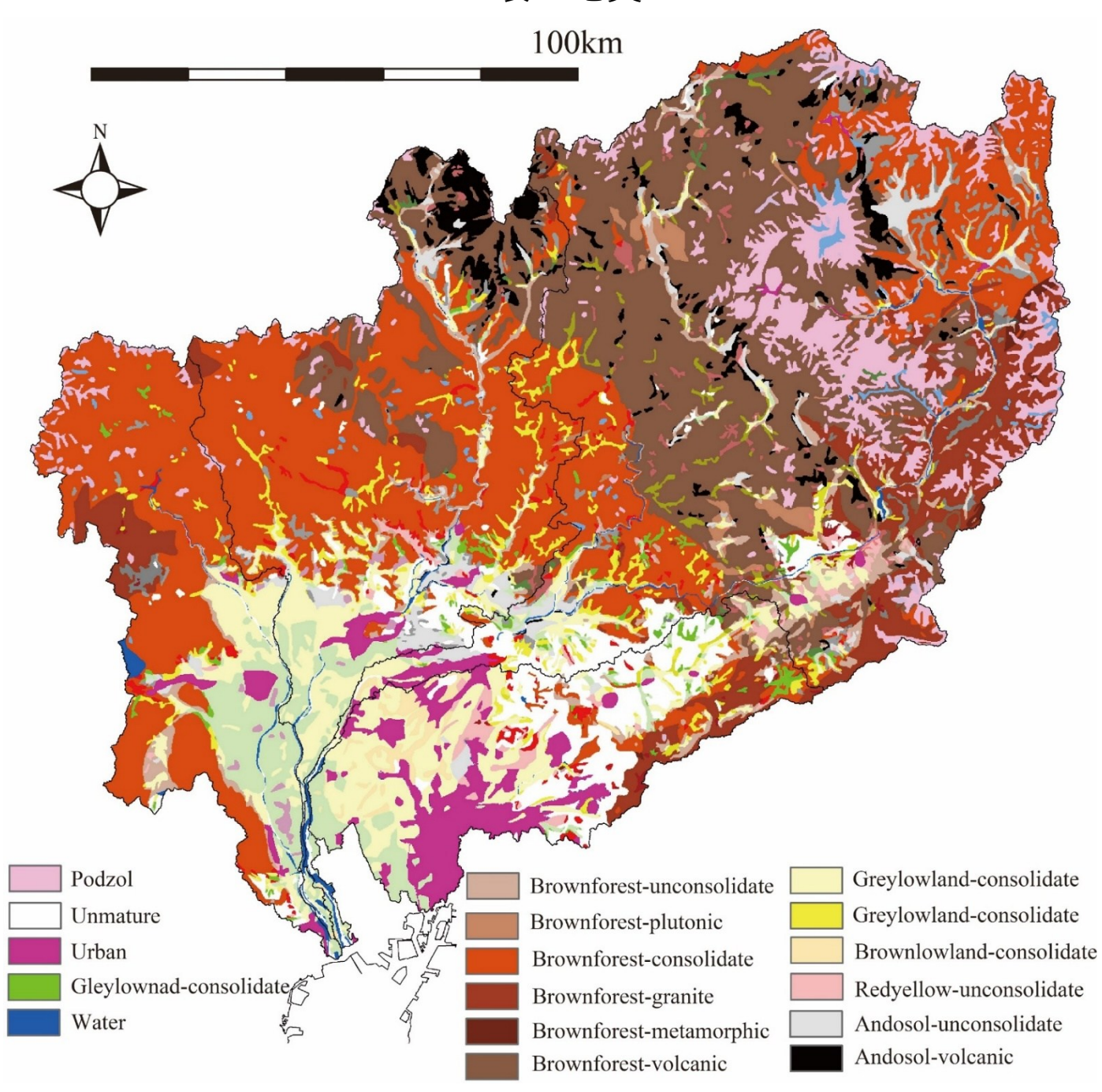




Onishi et al. (2020), Limnology



土壌・地質



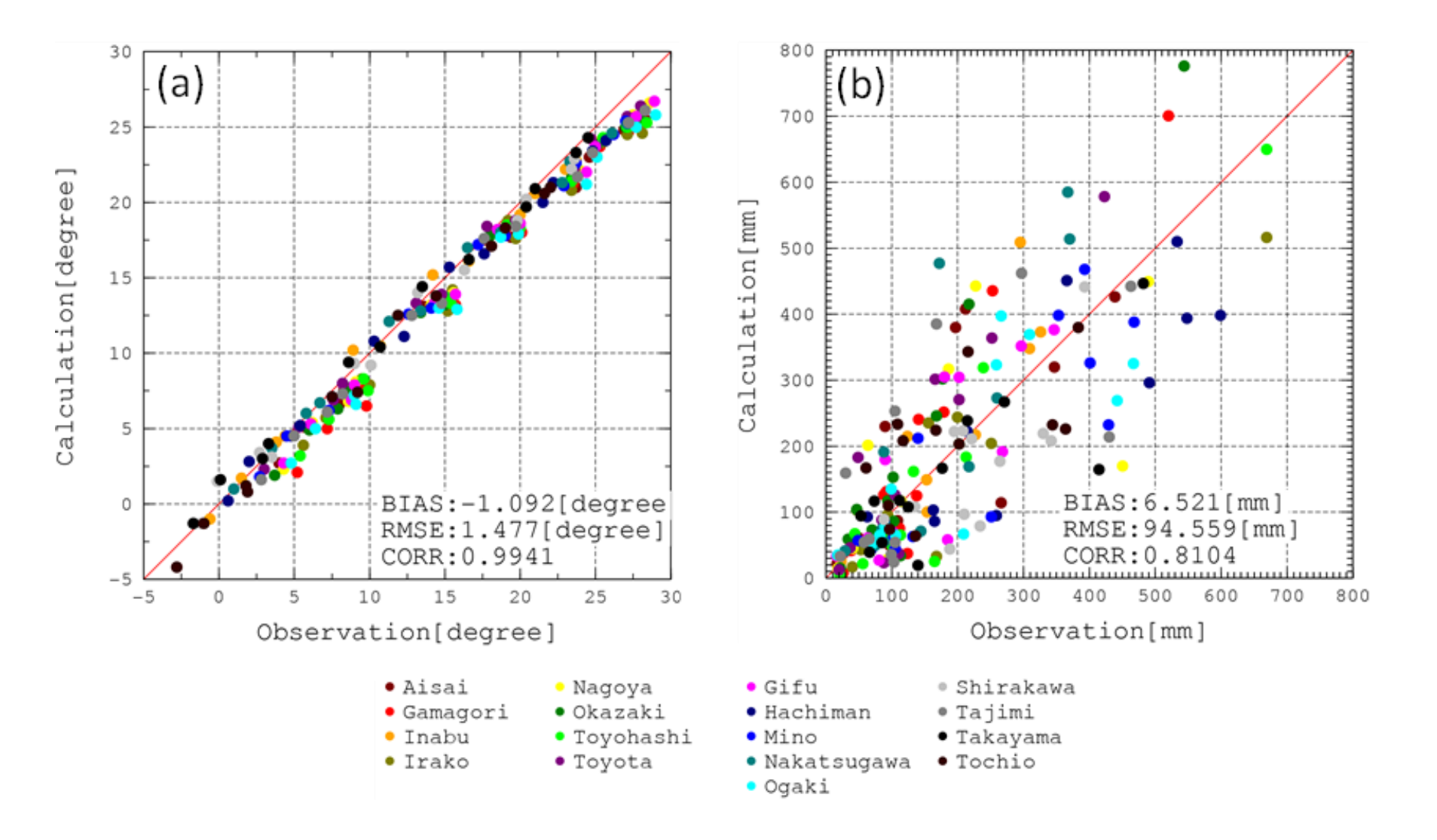
モデル・入力データの諸設定

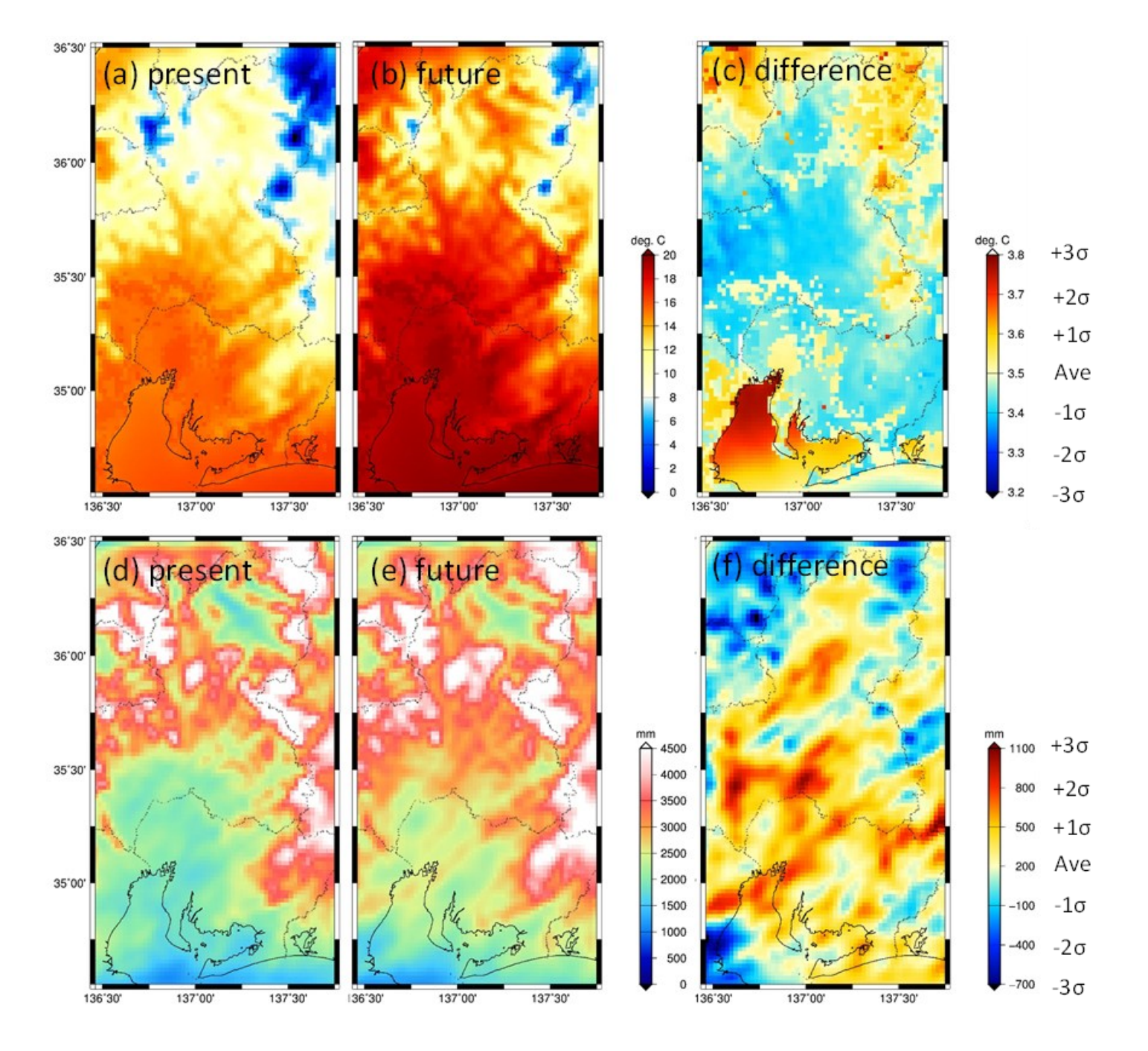
○気候モデル

- GCM (Global Circulation Model) : HadCM3
- · A1B Scenario, 温暖化予測手法:疑似温暖化
- ・RCM(Regional Climate Model):3段階のネステッド力学的ダウンスケーリング
- ・領域気候モデル:MM5 (version 3.6), 空間解像度:2km

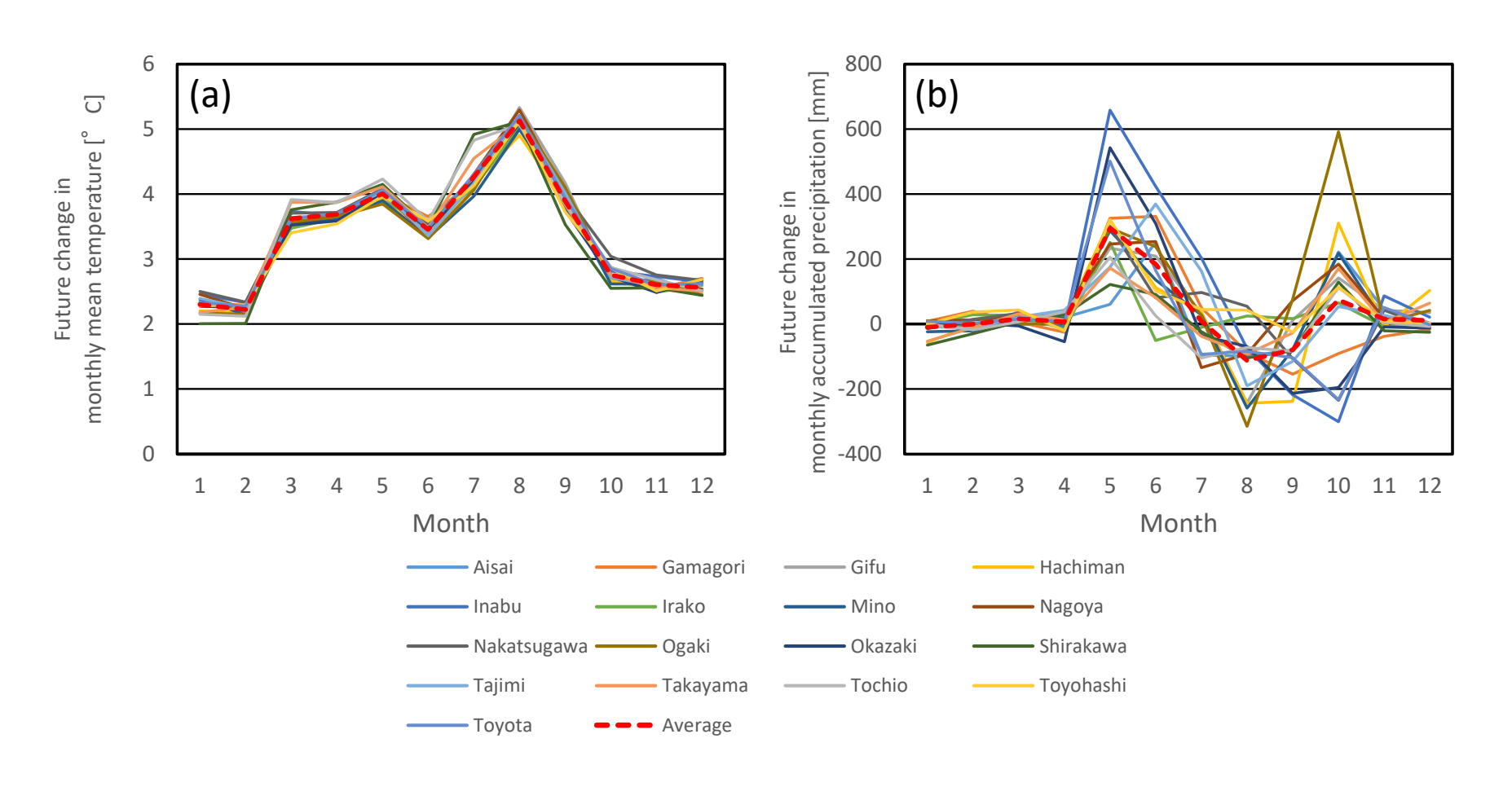
○陸面モデル

- · SWAT (Soil Water Assessment Tool)
- ・コード修正項目:頭首工からの取水、水田への湛水貯留と越流(坂口、2014)
- ・施肥量(県別・作物別施肥基準)、下水処理負荷量(排水基準、人口)、ダム
- ・乾性・湿性降下物(NO₃-, NH₄+, Morino et al., 2011)
- ・338サブ流域、4410HRU

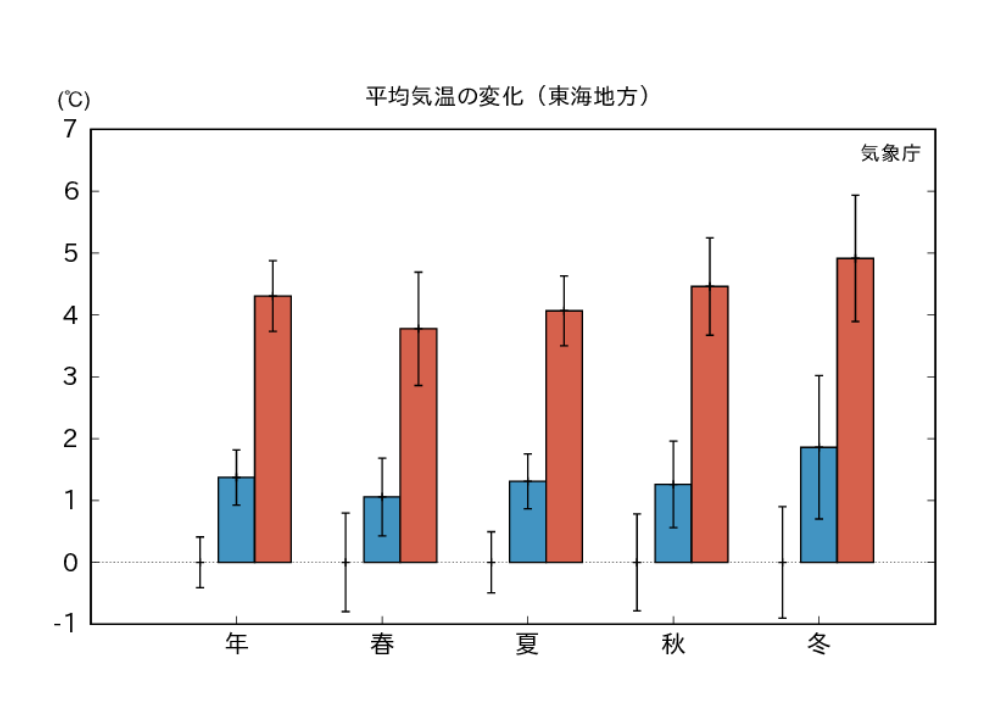




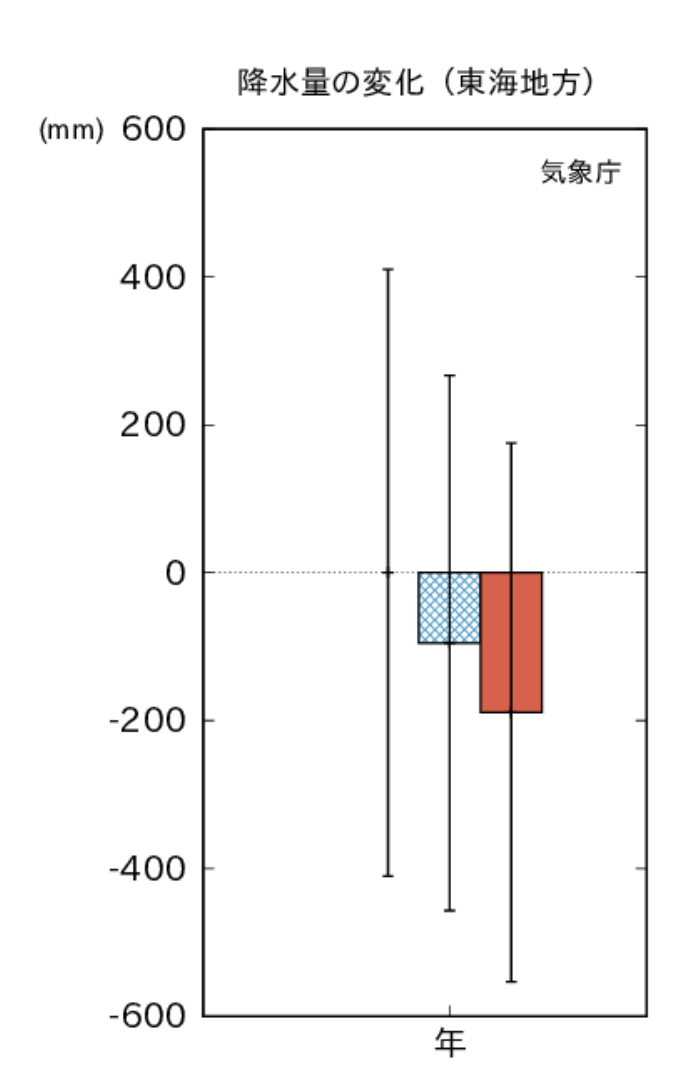
気温と降水の月別変化



気温・降水量の変化 (気象庁)



青:RCP2.6 赤:RCP8.5



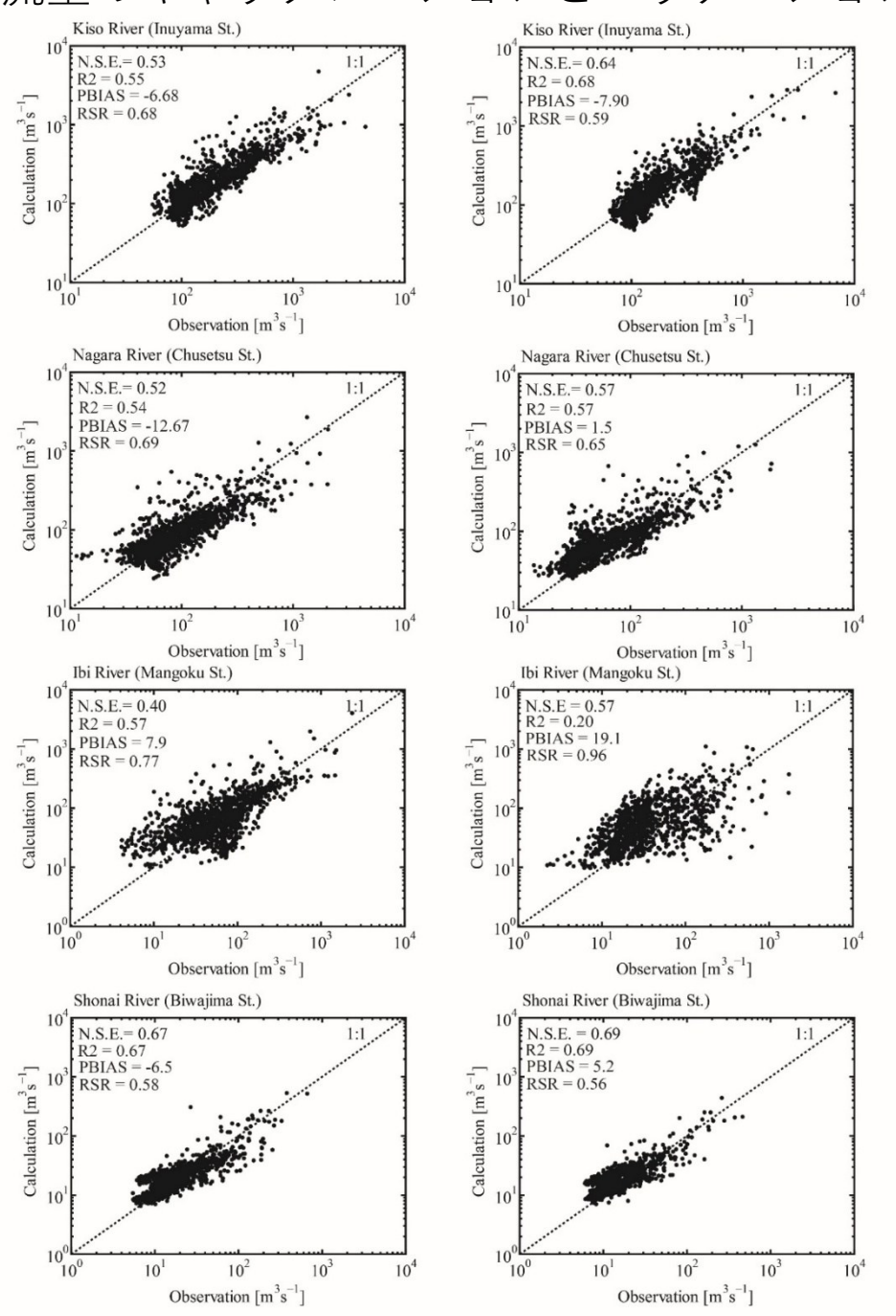
キャリブレーションパラメータの一覧

_			Range			
Parameter	Description	Method	Min	Max	Calibrated values	
CN2	Initial SCS curve number for moisture condition $ \mathbb{I} $	Relative	-0.5	1	-0.49	
ALPHA_BF	Baseflow alpha factor (days)	Replace	0.01	1	0.29	
GW_DELAY	Groundwater delay (days)	Replace	0	500	182.3	
GWQMN	Threshold depth of water in the shallow aquifer required for return flow to occur (mm)	Replace	0	5000	0.88	
ERORGN	Organic N enrichment ratio	Manual	0	5	3	

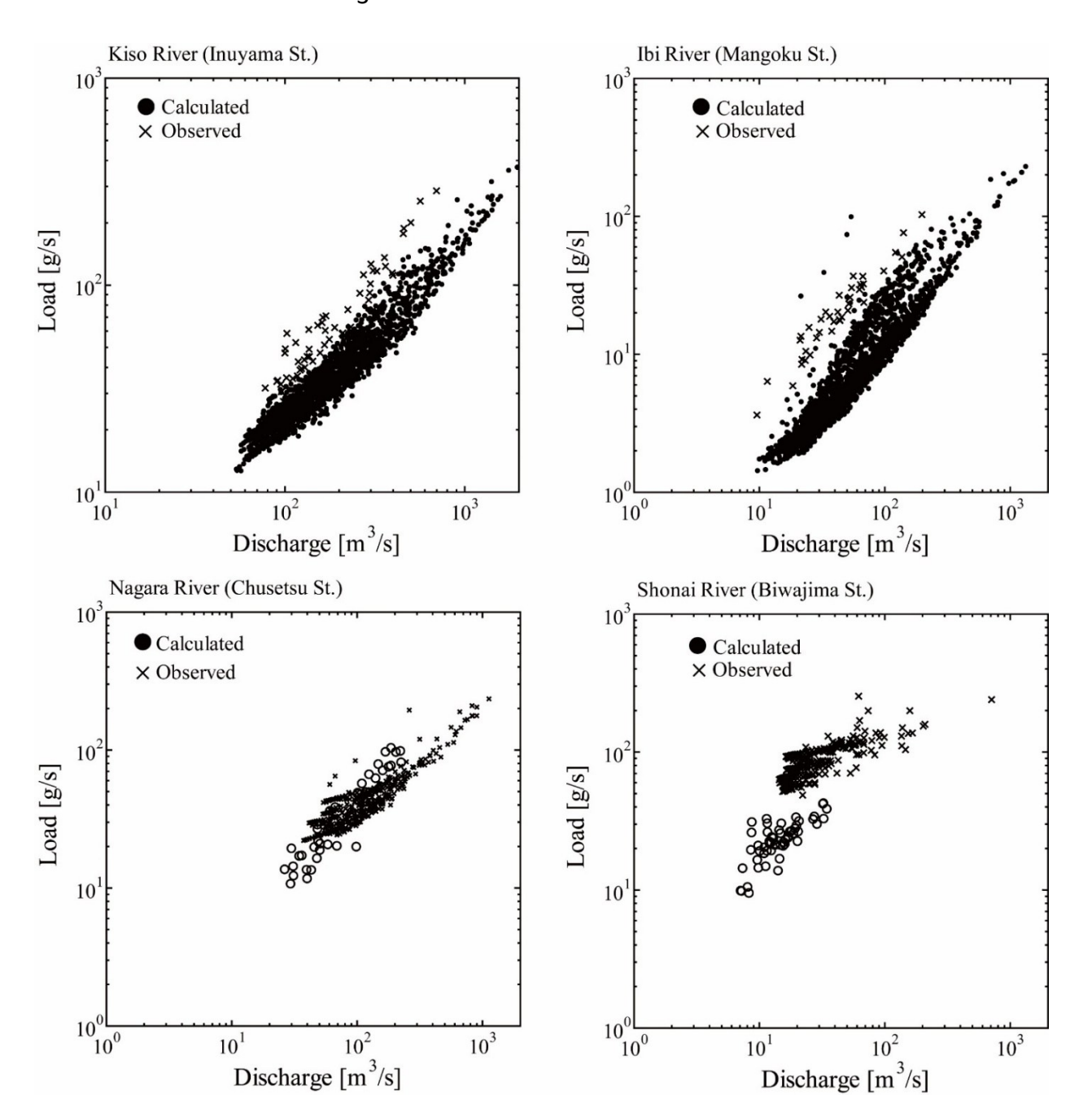
○キャリブレーション手法

- ・ラテン超格子法(SuFI-2)、試行回数2000回
- ・キャリブレーション期間:2004~2006年、バリデーション期間:2007~2009年
- ・評価関数:N.S.E, R2, PBIAS, RSR
- ・ただし、水質は試行錯誤によるキャリブレーションのみ

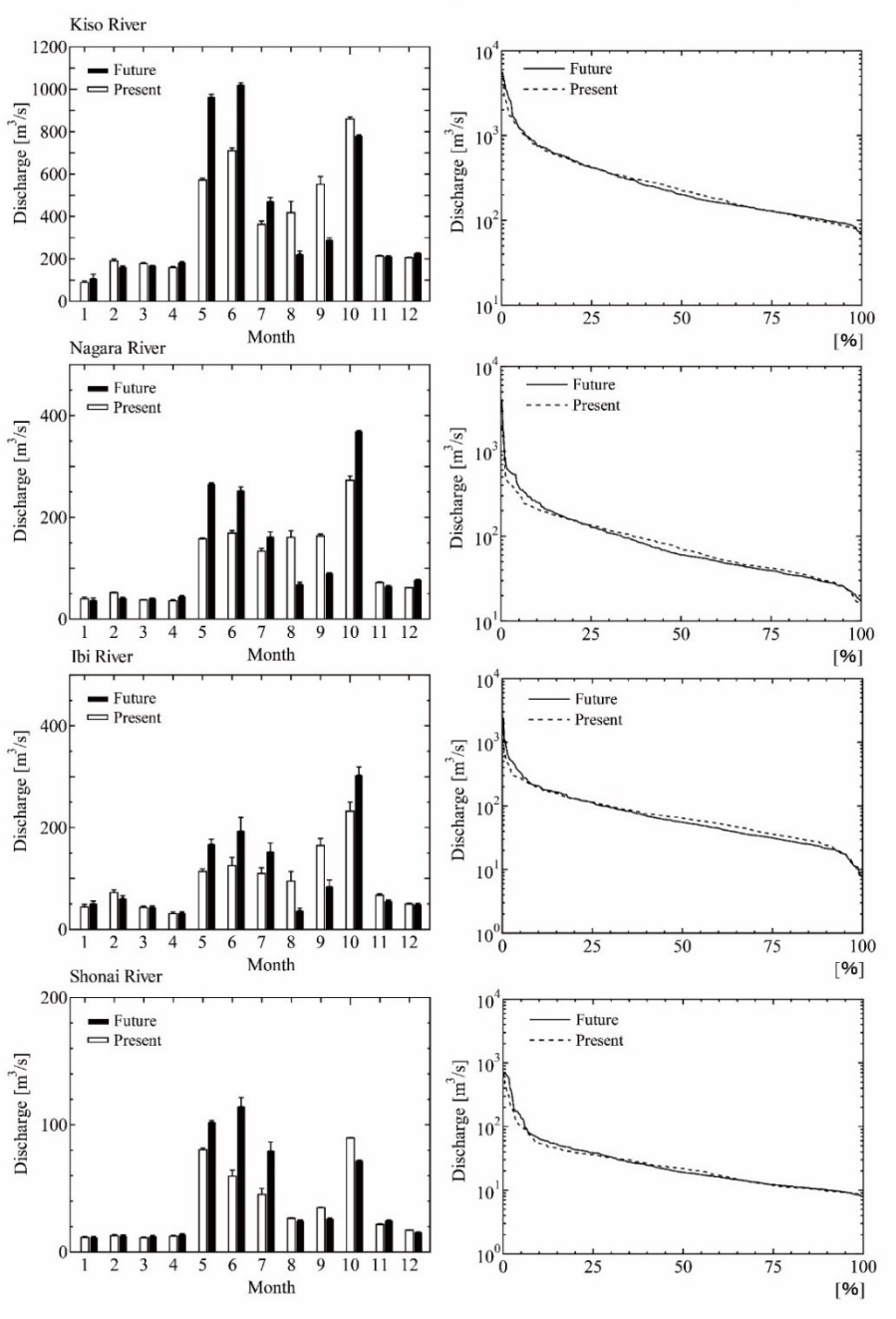
流量のキャリブレーションとバリデーション

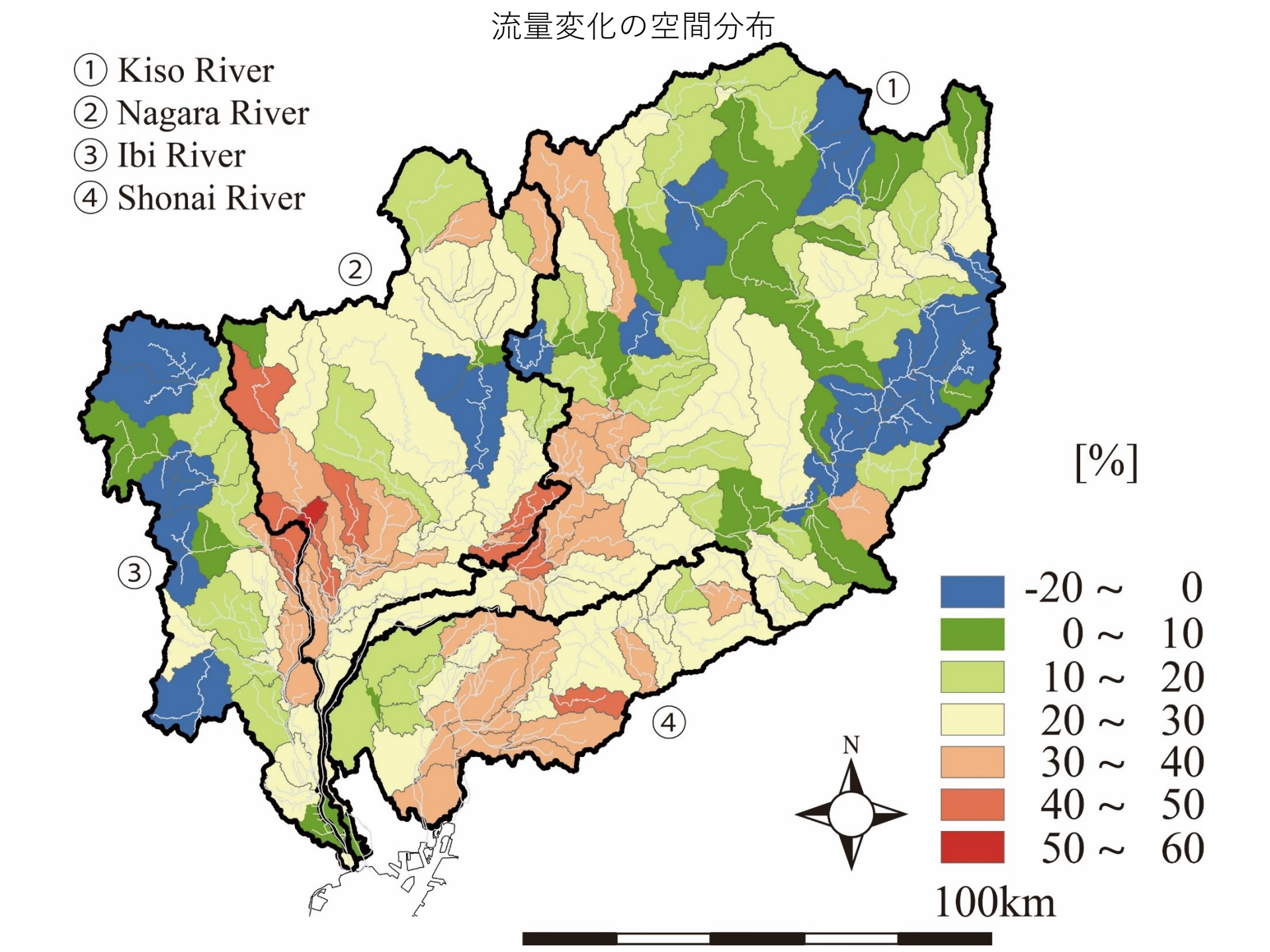


NO₃負荷量のバリデーション

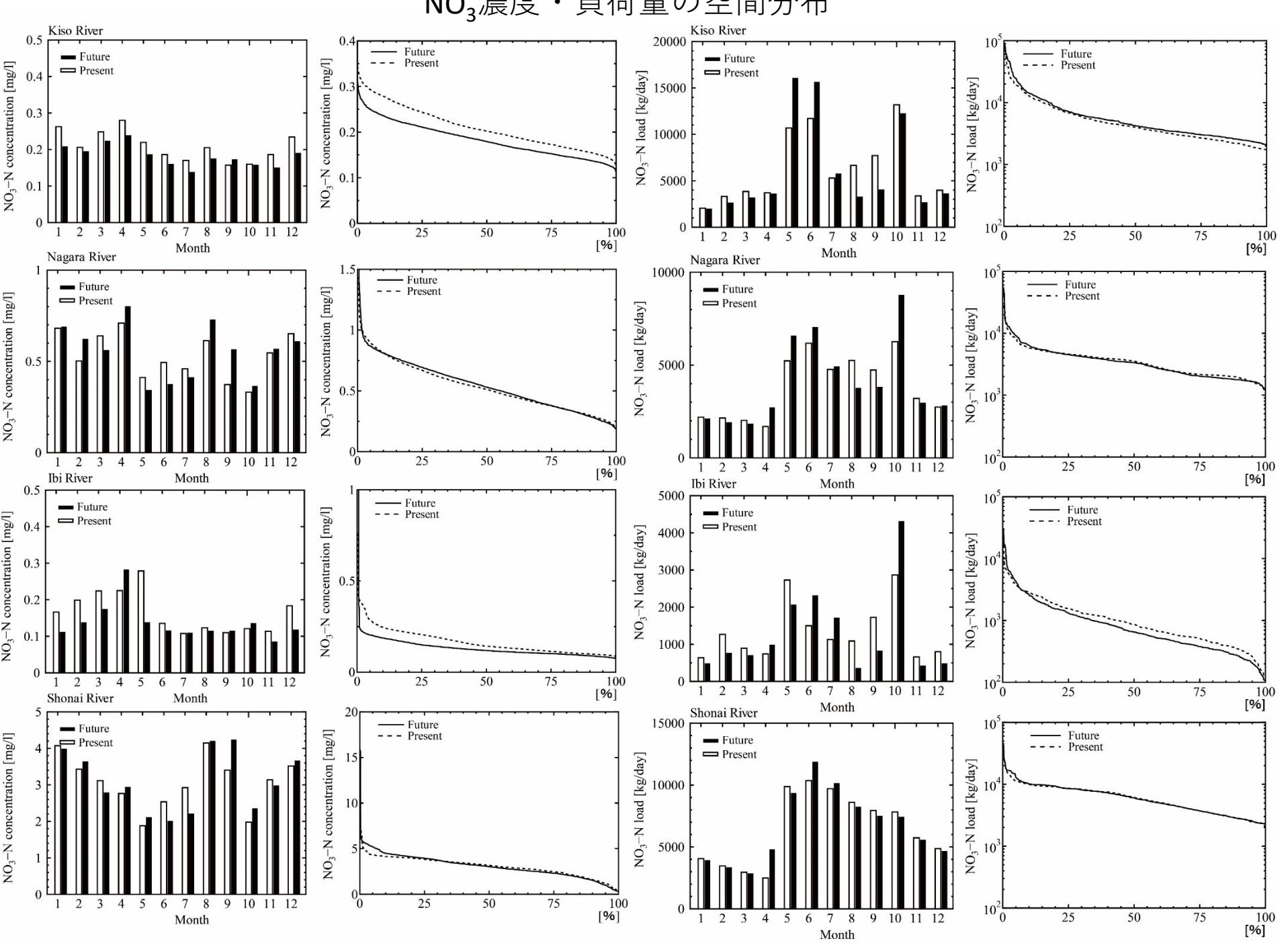


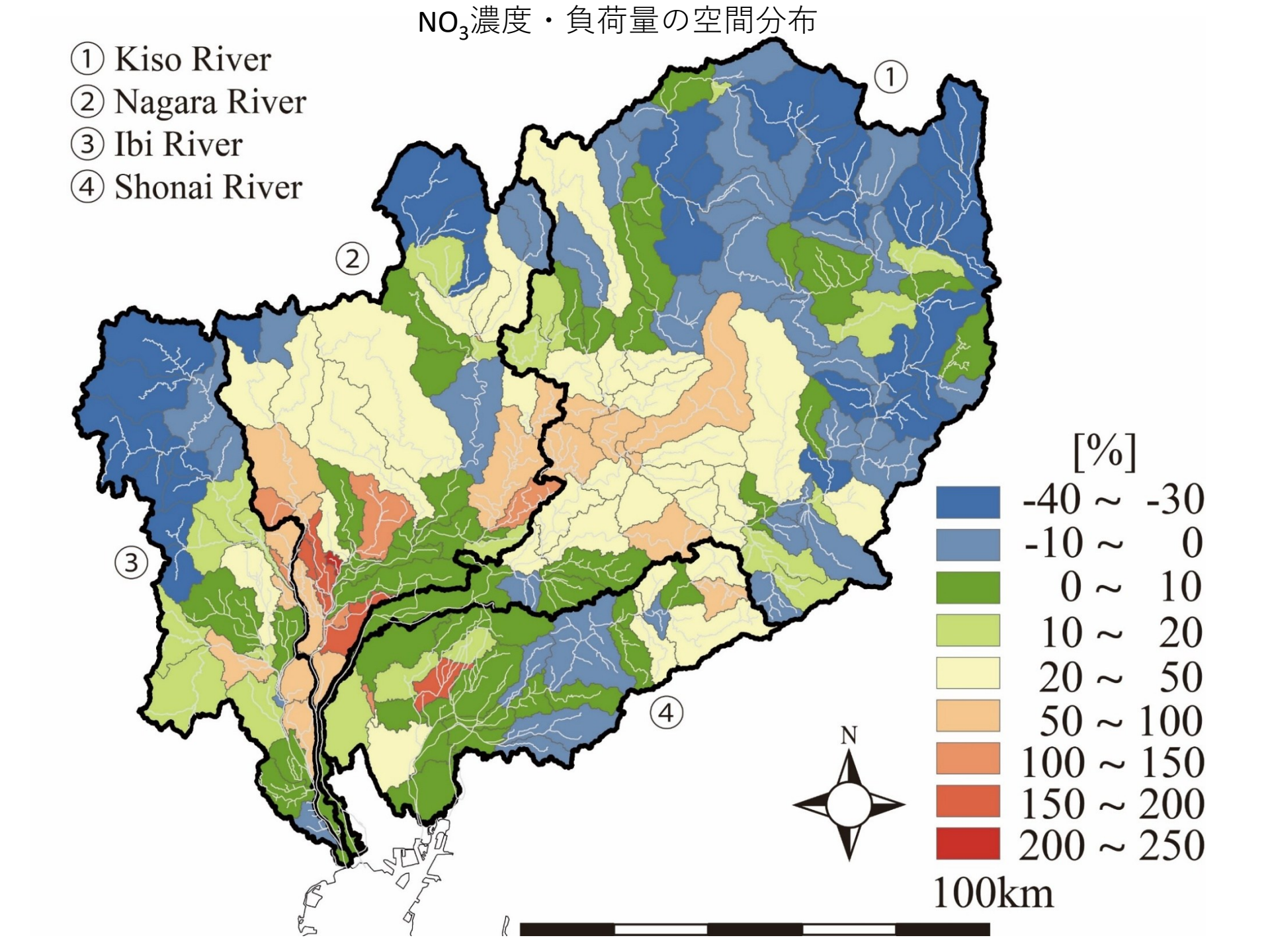
流量変化の特性 (月別、流況曲線)



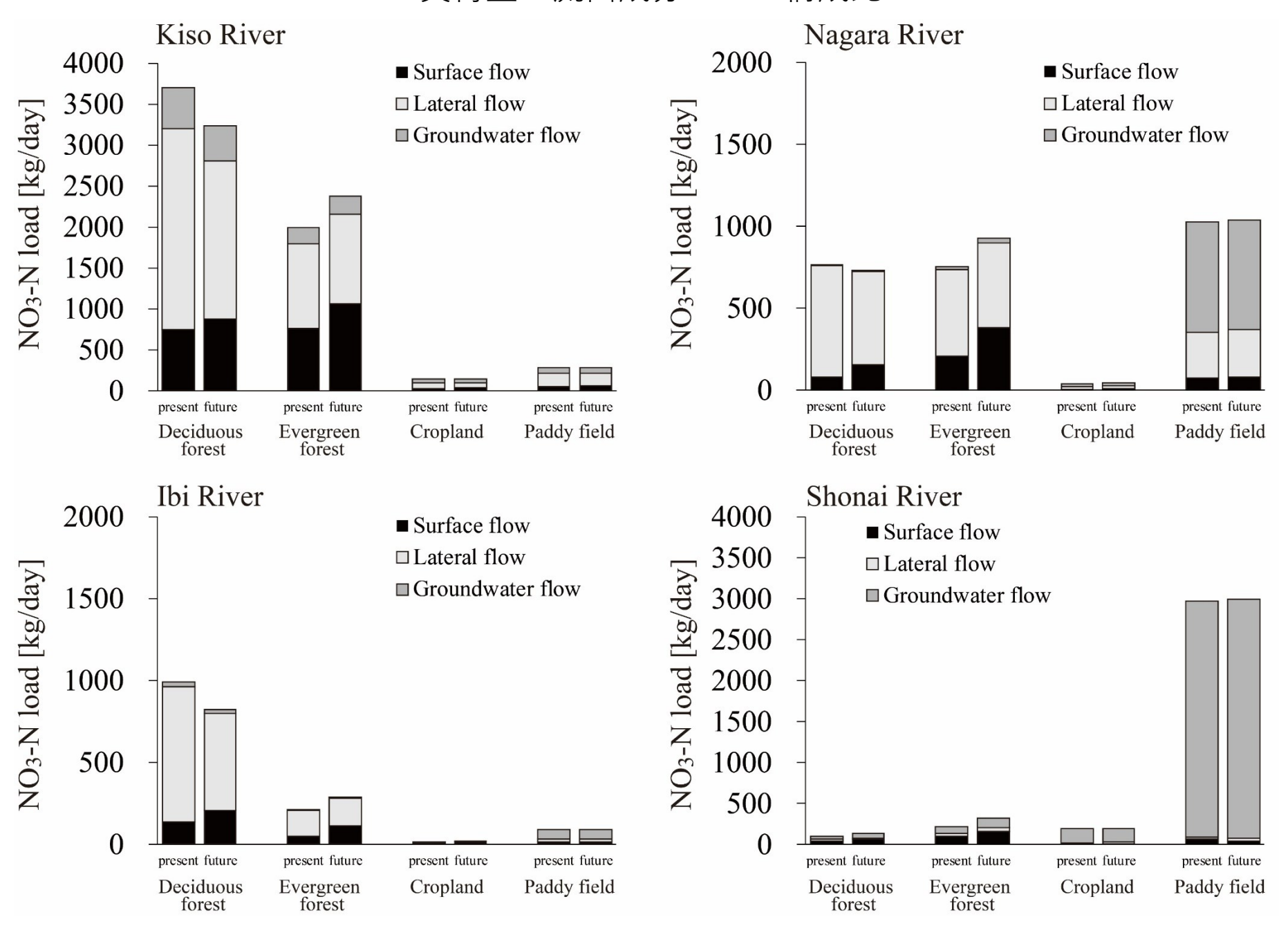


NO₃濃度・負荷量の空間分布





負荷量の流出成分ごとの構成比



伊勢湾流域圏における過去2600年間の水文環境の数値シミュレーション

- ○大西健夫1, 保木井貴雄2, 平松研1
 - 1. 岐阜大学応用生物科学部
 - 2. 農林水産省農村振興局

背景と目的

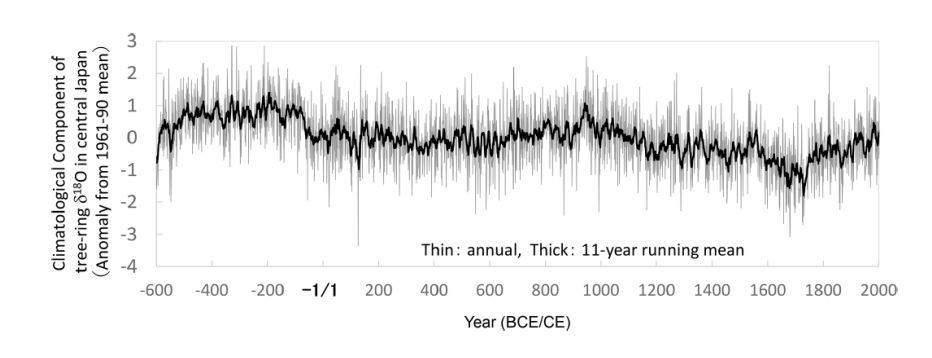
樹木年輪セルロースの δ^{18} Oからの高分解能 (1年) 気候復元が可能となりつつある。

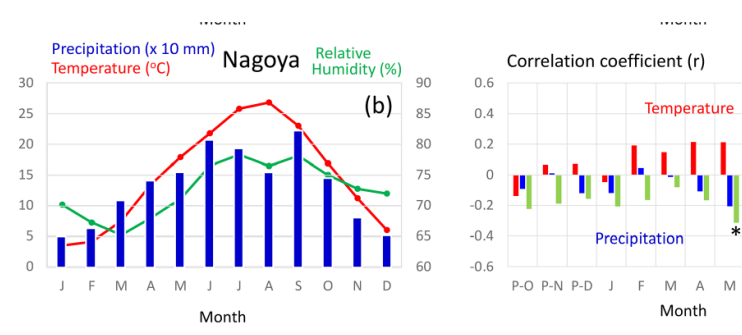
今回の発表

とりあえずシミュレーションしてみよう。

最終目標

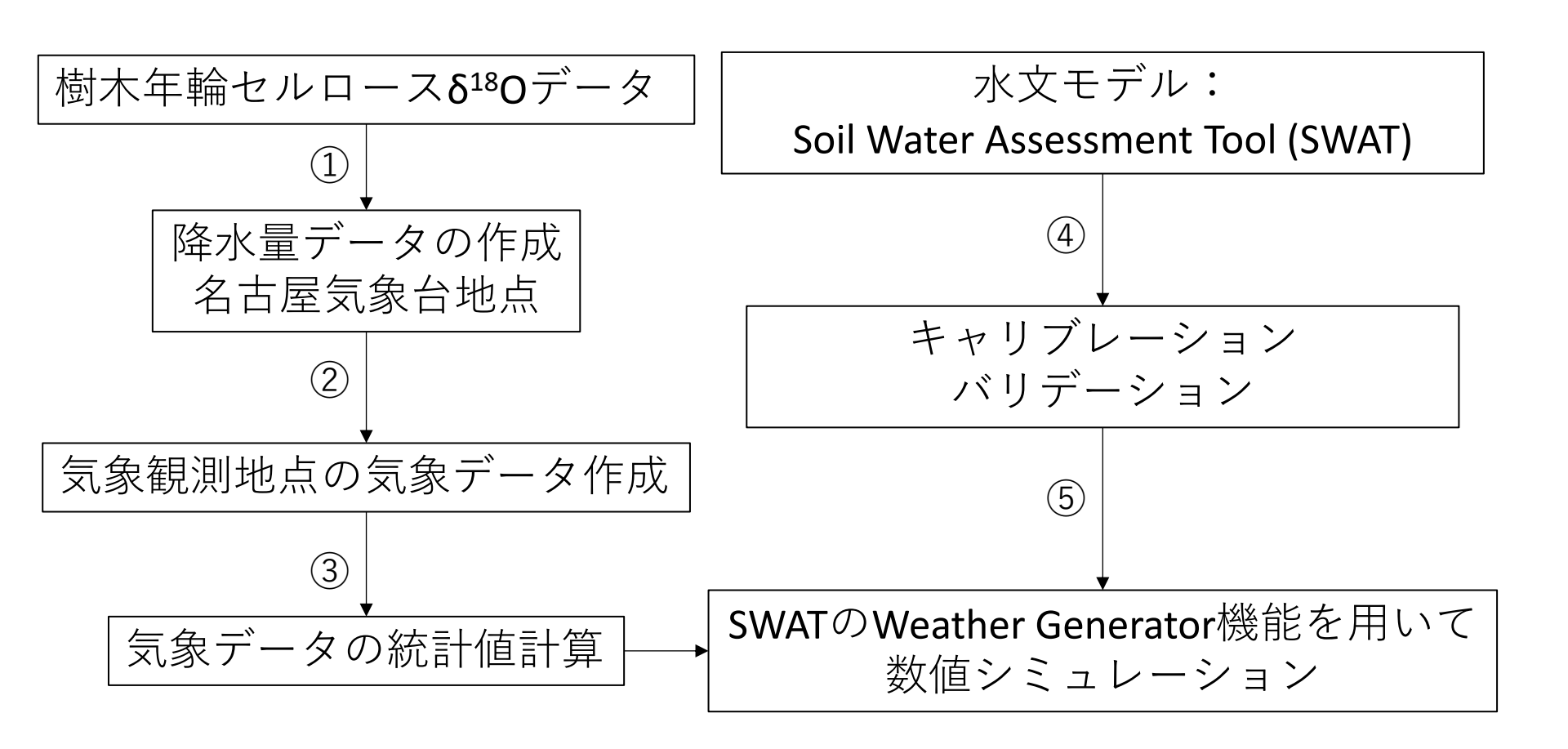
物質動態(栄養塩、酸化還元状態)の復元





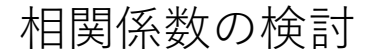
Nakatsuka et al. (2020), Climate of the Past

方法



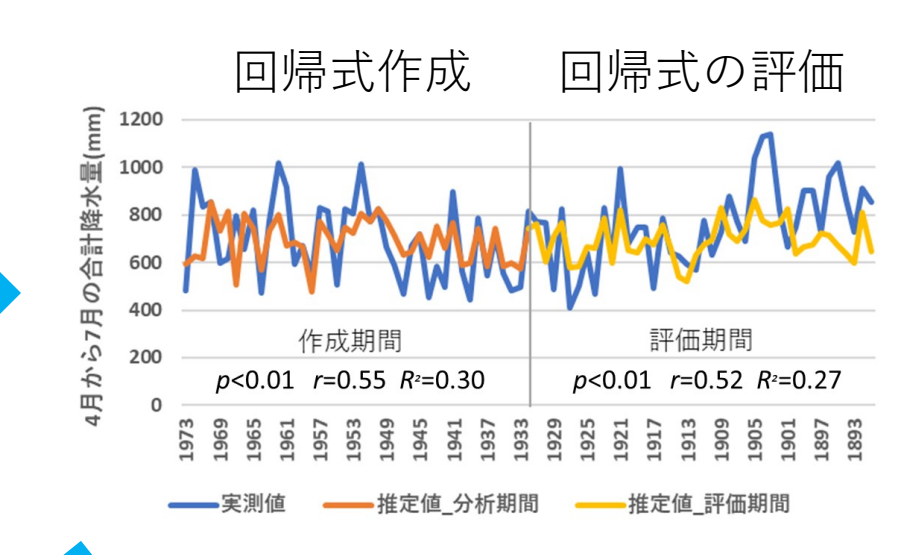
以下スライド3-7で①~⑤を説明

方法:樹木年輪セルロースδ¹⁸Oデータから名古屋気象台地点の降水量復元まで

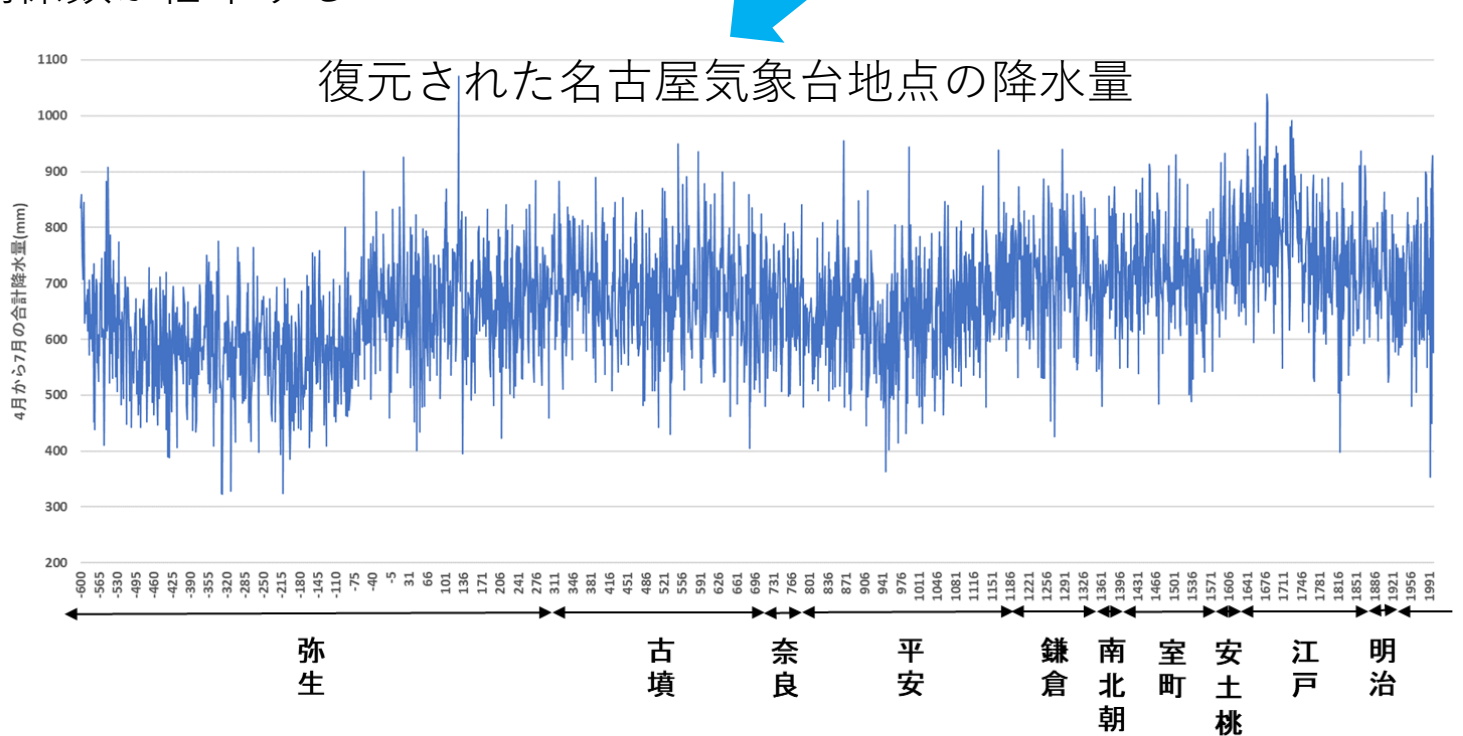




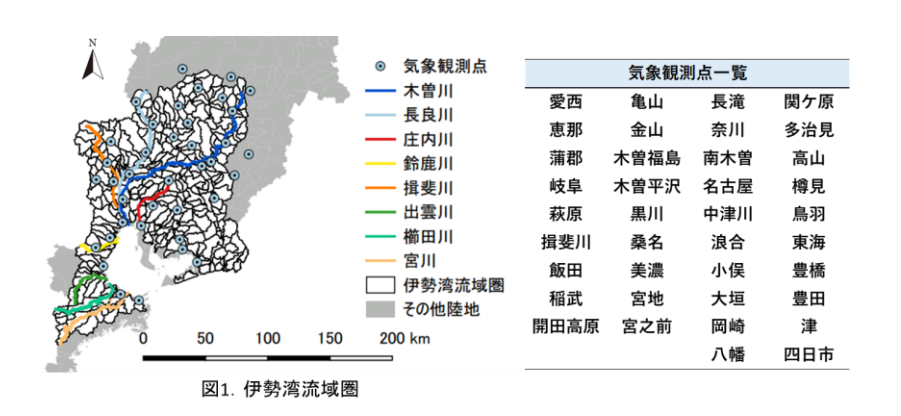
1972年以降のデータを含むと、 相関係数が低下する



山



方法:流域内の気象台地点の気象データの復元



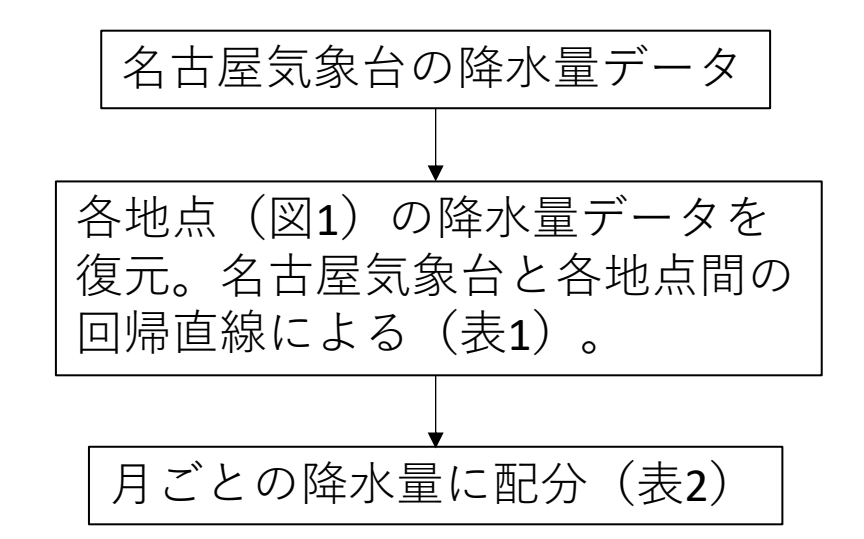


表1 名古屋と各観測点における合計降水量(4月 - 7月)の決定係数

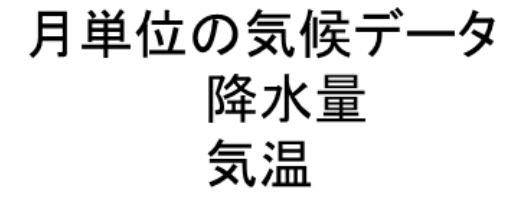
決定係数			決定係数	決定係数		
愛西	0.78	黒川	黒川 0.57 関		0.72	
恵那	0.70	桑名	0.83	多治見	0.80	
蒲郡	0.68	美濃	0.68	高山	0.56	
岐阜	0.85	宮地	0.54	0.54 樽見		
萩原	0.51	宮ノ前	0.61	鳥羽	0.50	
揖斐川	0.63	長滝	0.49	東海	0.79	
飯田	0.58	奈川	0.58	豊橋	0.54	
稲武	0.71	南木曽	0.65	豊田	0.82	
開田高原	0.66	中津川	0.70	津	0.58	
亀山	0.59	浪合	0.67	八幡	0.56	
金山	0.68	小俣	0.52	四日市	0.75	
木曽福島	0.66	大垣	0.77			
木曽平沢	0.61	岡崎	0.79			
	0.80≤	R ² 0	.50≤R²<0.80			

表2. 各観測点の評価期間内の各月降水割合

	名古屋	愛西	恵那	蒲郡	岐阜	萩原	揖斐川	飯田	稲武	開田高原
4月	18.01(1.16)	19.47(1.25)	16.58(1.20)	19.11(1.30)	18.36(1.34)	15.78(1.32)	18.34(1.38)	18.11(1.38)	18.58(1.25)	17.57(1.35
5月	23.69(1.51)	23.94(1.26)	21.89(1.38)	24.79(1.62)	24.11(1.14)	21.10(1.26)	24.14(1.38)	22.80(1.37)	22.08(1.22)	23.13(1.28)
6月	29.43(1.74)	28.54(1.61)	29.13(2.11)	30.69(2.00)	28.35(1.80)	28.01(2.07)	28.68(1.89)	29.37(2.05)	29.09(1.76)	28.95(2.00)
7月	28.87(2.14)	28.05(2.23)	32.4(2.38)	25.41(2.25)	29.18(2.26)	35.12(2.34)	28.85(2.02)	29.72(2.42)	30.24(2.01)	30.35(2.37)
	亀山	金山	木曽福島	木曽平沢	黒川	桑名	美濃	宮地	宮ノ前	長滝
4月	17.72(1.39)	17.15(1.25)	17.04(1.24)	17.13(1.31)	17.06(1.21)	18.9(1.32)	17.56(1.36)	15.98(1.13)	16.66(1.19)	17.63(1.29)
5月	25.87(1.73)	21.04(1.05)	22.50(1.31)	22.11(1.25)	21.64(1.33)	24.51(1.24)	22.25(1.11)	19.93(1.12)	21.28(1.44)	21.38(1.07)
6月	30.76(1.63)	28.54(1.91)	28.44(2.07)	30.19(2.33)	28.33(1.85)	30.54(1.65)	28.29(1.90)	27.40(1.94)	27.02(1.96)	26.74(2.01)
7月	25.65(2.45)	33.27(2.11)	32.03(2.43)	30.57(2.57)	32.97(2.24)	26.05(2.4)	31.91(2.23)	36.69(2.08)	35.05(2.36)	34.24(2.14)
	奈川	南木曾	中津川	浪合	小幡	大垣	岡崎	関ケ原	多治見	高山
4月	17.56(1.25)	16.11(1.13)	16.37(1.14)	18.89(1.30)	18.63(1.26)	18.35(1.38)	19.51(1.28)	17.88(1.23)	17.35(1.12)	17.80(1.30)
5月	22.92(1.23)	20.63(1.39)	21.99(1.50)	23.23(1.47)	27.00(1.95)	23.97(1.40)	23.79(1.50)	22.80(1.54)	23.03(1.39)	21.31(1.20)
6月	29.21(2.05)	29.89(2.37)	28.39(1.91)	29.54(2.09)	29.89(1.32)	29.01(1.86)	30.97(1.86)	29.28(1.99)	28.43(1.84)	27.68(2.11)
7月	30.31(2.46)	33.36(2.48)	33.25(2.08)	28.34(2.31)	24.49(2.34)	28.68(2.32)	25.73(2.07)	30.04(2.29)	31.19(2.17)	33.20(2.49)
	垂水	鳥羽	東海	豊橋	豊田	津	八幡	四日市		
4月	17.79(1.30)	21.63(1.39)	19.20(1.36)	21.21(1.49)	17.88(1.29)	18.47(1.34)	18.12(1.36)	18.11(1.30)		
5月	23.11(1.26)	28.54(2.02)	23.46(1.36)	25.52(1.60)	23.27(1.45)	26.04(1.56)	21.12(1.15)	24.67(1.36)		
6月	27.55(1.70)	28.57(1.23)	30.68(1.69)	29.77(1.76)	30.61(2.09)	29.30(1.46)	27.92(1.77)	31.42(1.65)		
7月	31.55(2.10)	21.26(2.33)	26.65(2.15)	23.50(2.46)	28.24(2.28)	26.19(2.16)	32.83(2.01)	25.80(2.36)		

*単位は%であり、()内の数値は30年間の標準誤差を示している

名古屋気象台のデータを用いて 各地点の降水量を推定



Weather Generator

降水日数(day/mon) 日降水量の標準偏差 月降水量の歪度 W/D(dry→wet)

 $W/W(wet \rightarrow wet)$

全天日射量(MJ/m²) 露点温度(℃)

平均風速(m/s/mon)

データの平均 値として処理 _____

30年分の気候

1980~2010年

SWAT内での処理

日降水量・気温・風速・日射・湿度データを設定

内の項目

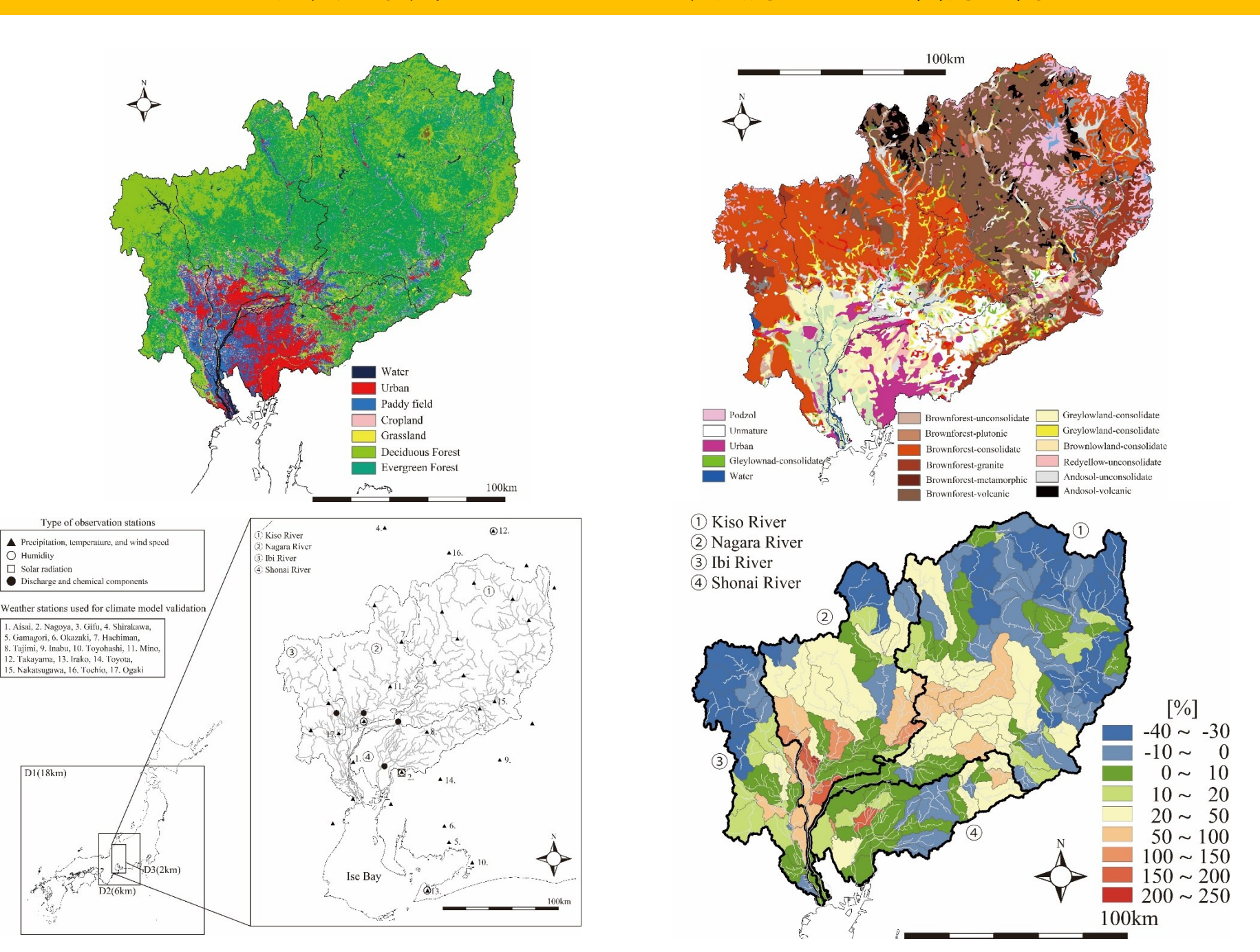


全天日射量:降水・気温データからSWAT内で推定

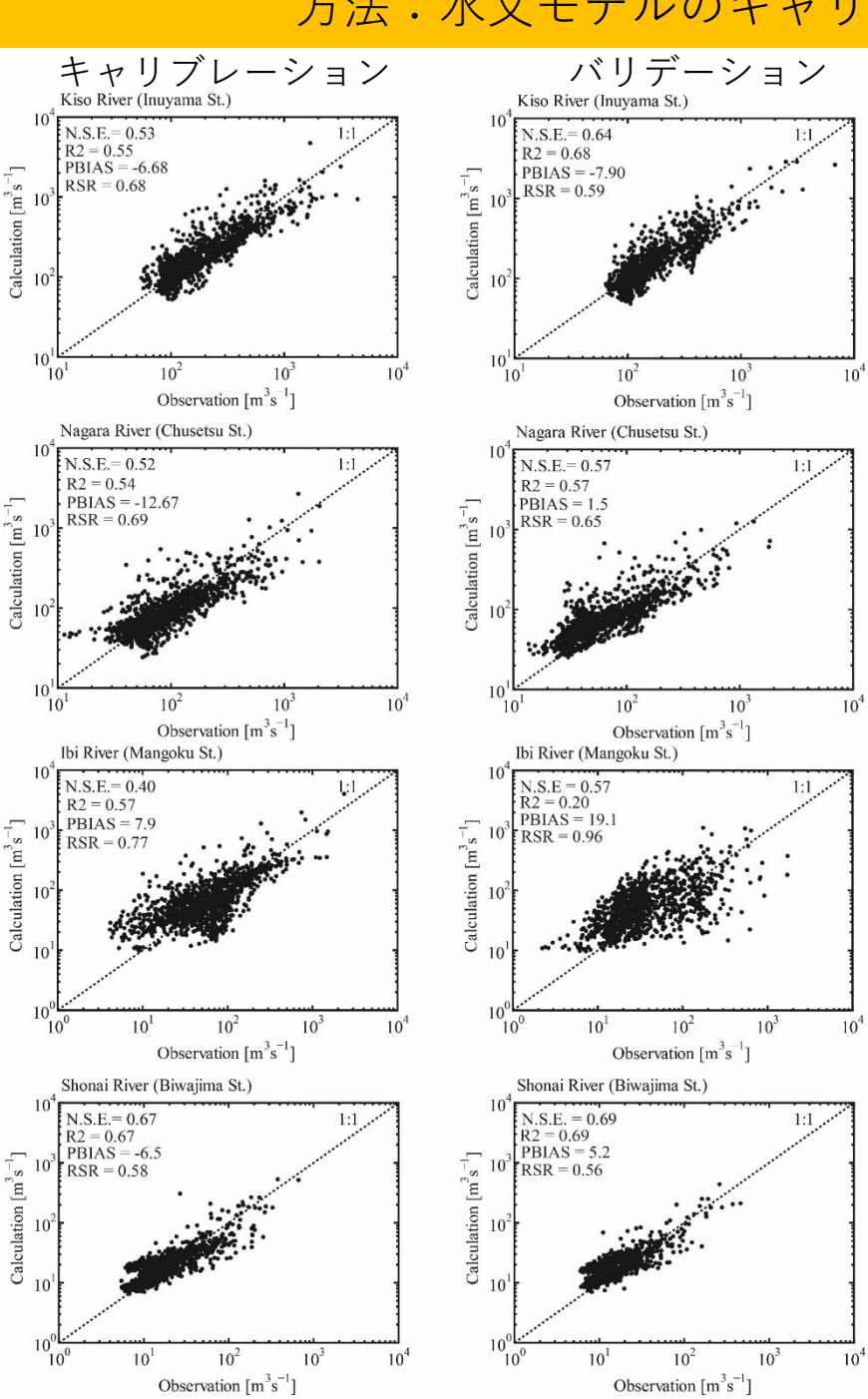
露点温度:飽和水蒸気圧の関数として気温から推定

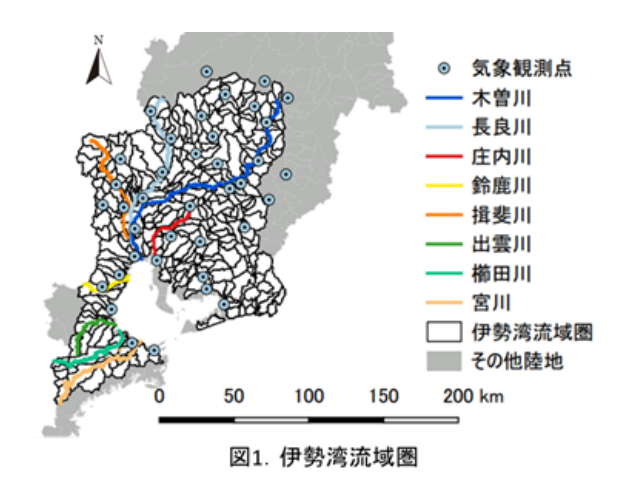
平均風速:1980~2010年の月別平均値

方法:水文モデルSWATの基礎入力データと出力の例



方法:水文モデルのキャリブレーション・バリデーション



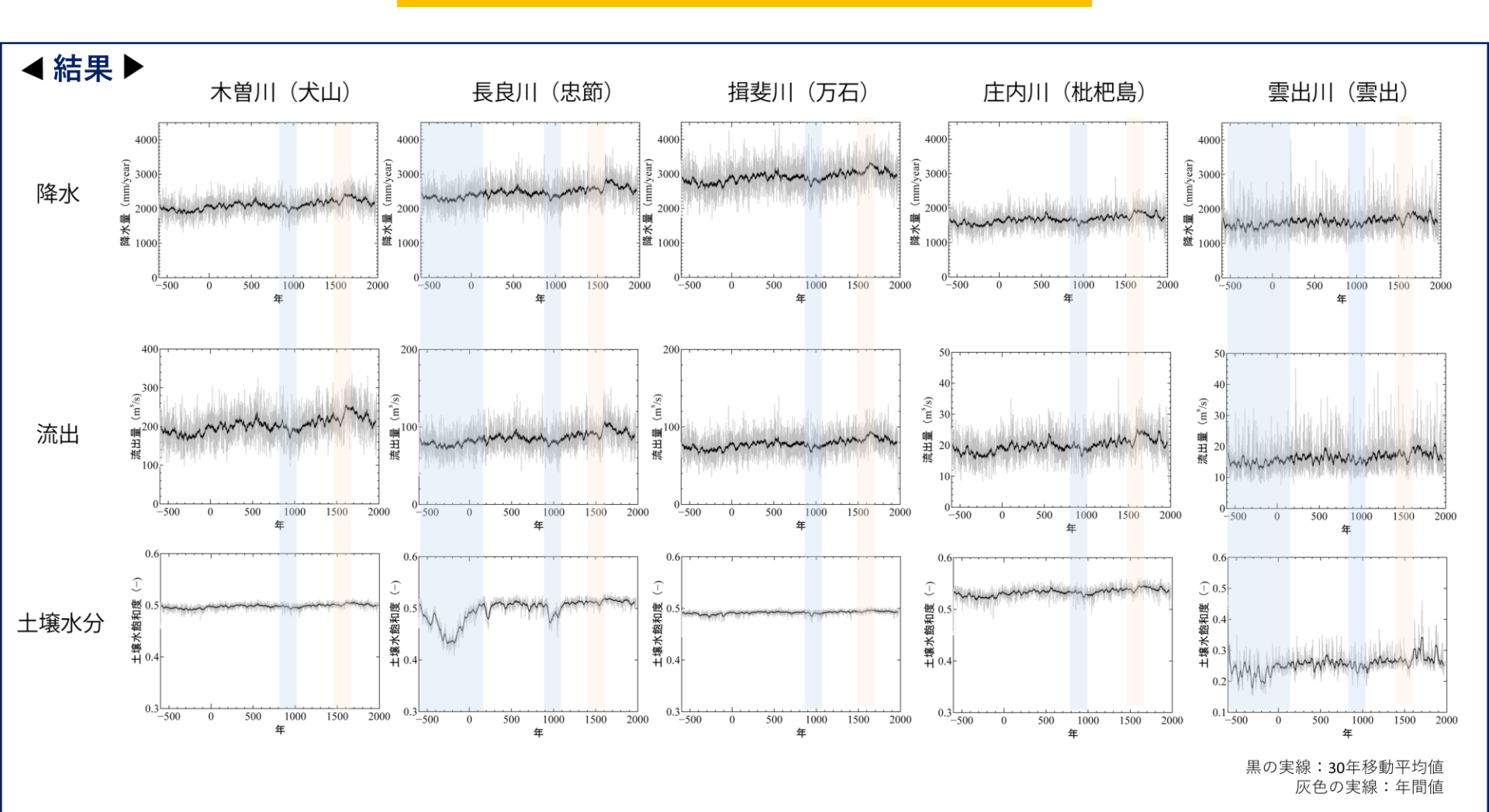


パラメータの一覧

Parameter			Ra	nge	
	Description	Method	Min	Max	Calibrated values
CN2	Initial SCS curve number for moisture condition $ \overline{\hspace{1em} \hspace{1em} \mathbb{I}} $	Relative	-0.5	1	-0.49
ALPHA_BF	Baseflow alpha factor (days)	Replace	0.01	1	0.29
GW_DELAY	Groundwater delay (days)	Replace	0	500	182.3
GWQMN	Threshold depth of water in the shallow aquifer required for return flow to occur (mm)	Replace	0	5000	0.88
ERORGN	Organic N enrichment ratio	Manual	0	5	3

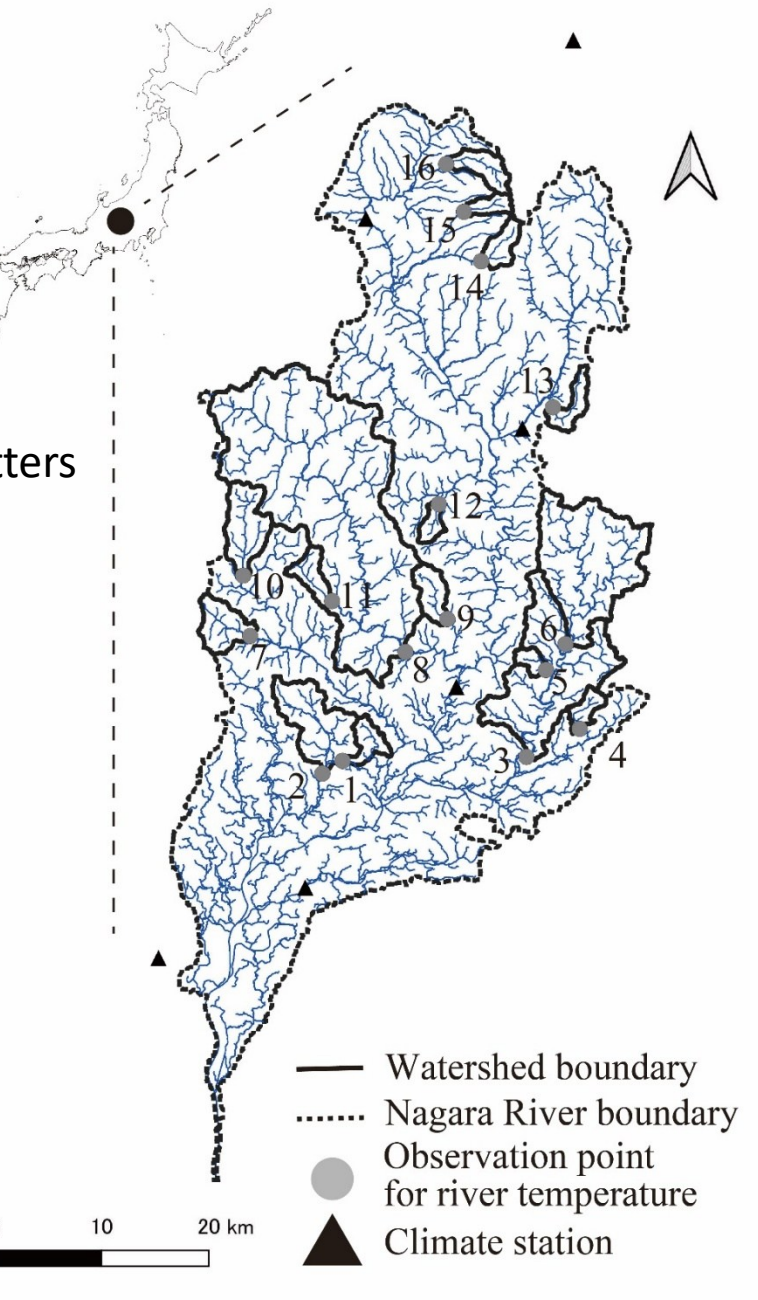
キャリブレーションの方法 SWAT-CUPによる2000回の試行 ラテン超格子法

結果



長良川流域の水温 環境と将来の土地 利用変化

Mousumi et al. (2025), Hydrological Research Letters

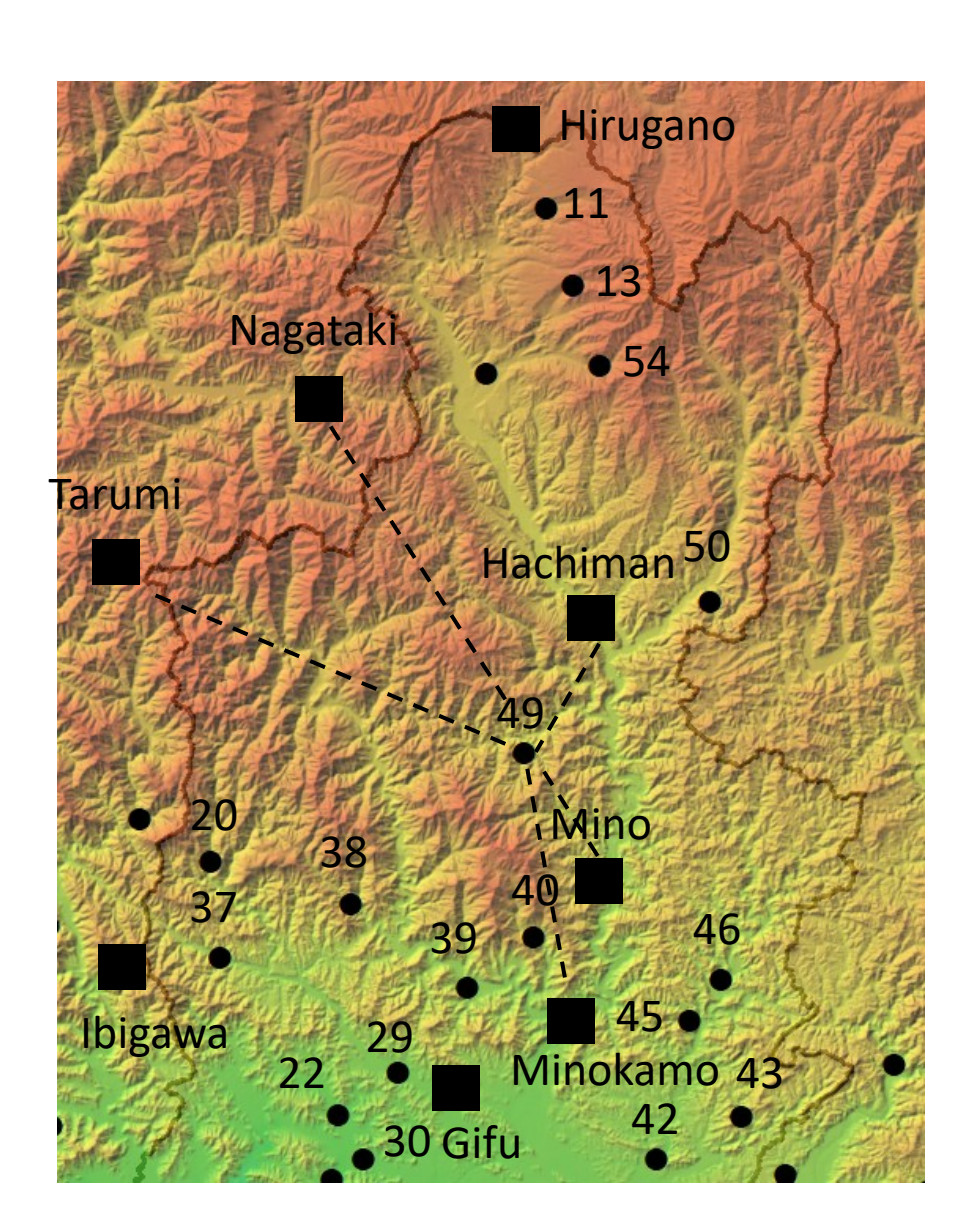


データの内挿補間

- Water temperature
- Weather station

Air temperature at each river water observation point was estimated by inverse distance weighted interpolation using nearest 5 weather stations.

<u>Precipitation</u> at each river water observation point was given by the observed precipitation data at the nearest weather station.



気温と水温の変動特性

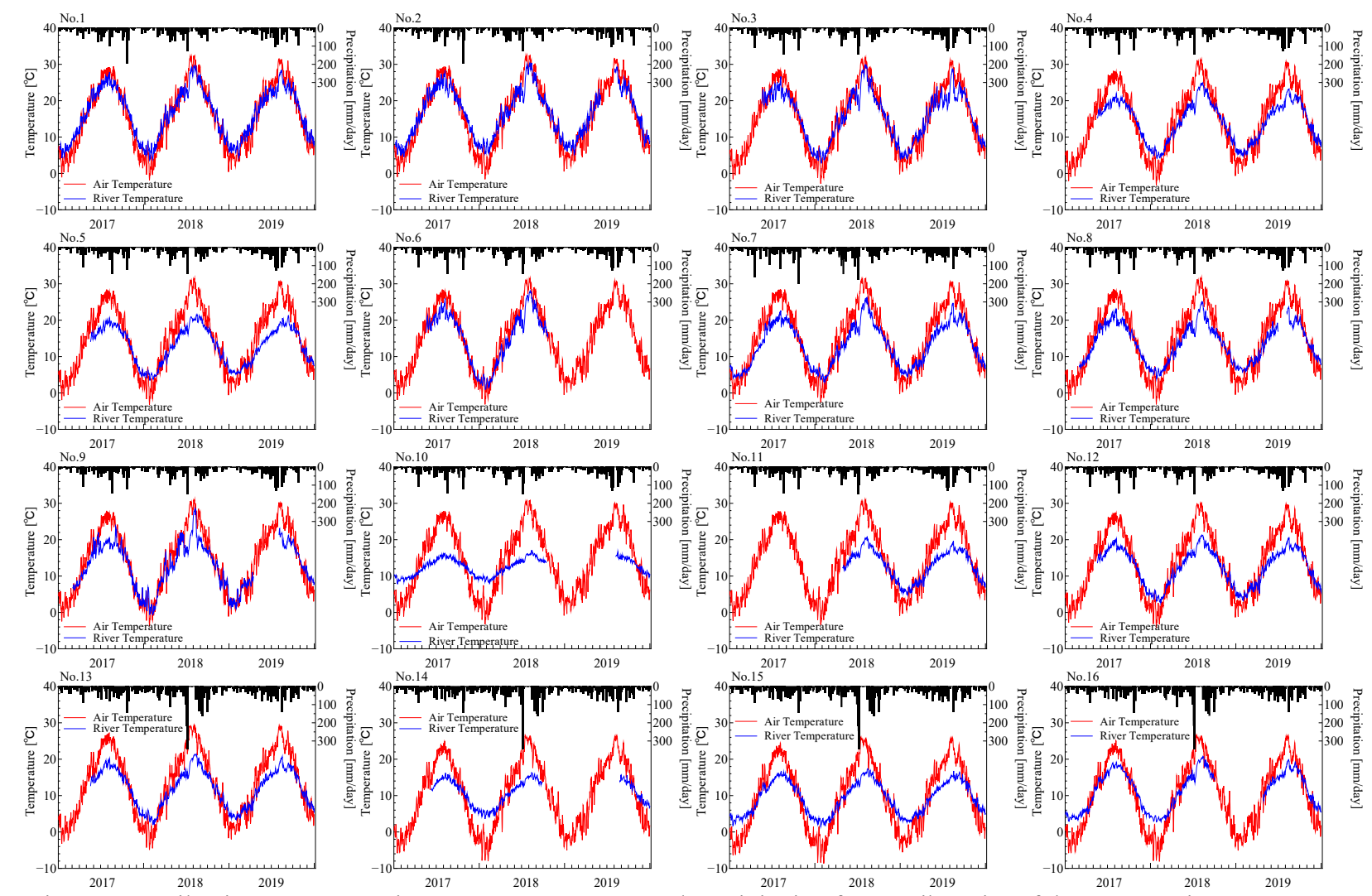
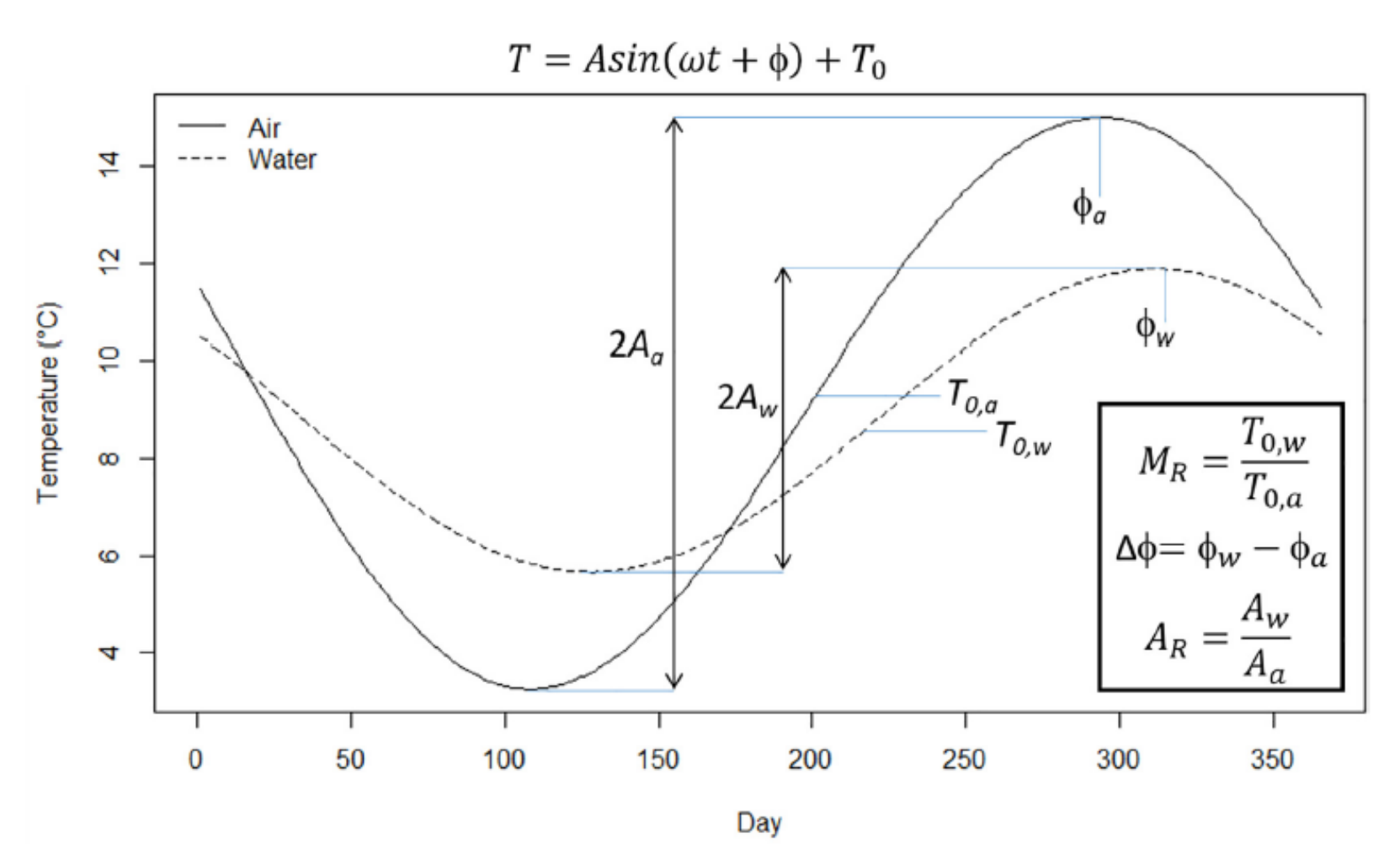


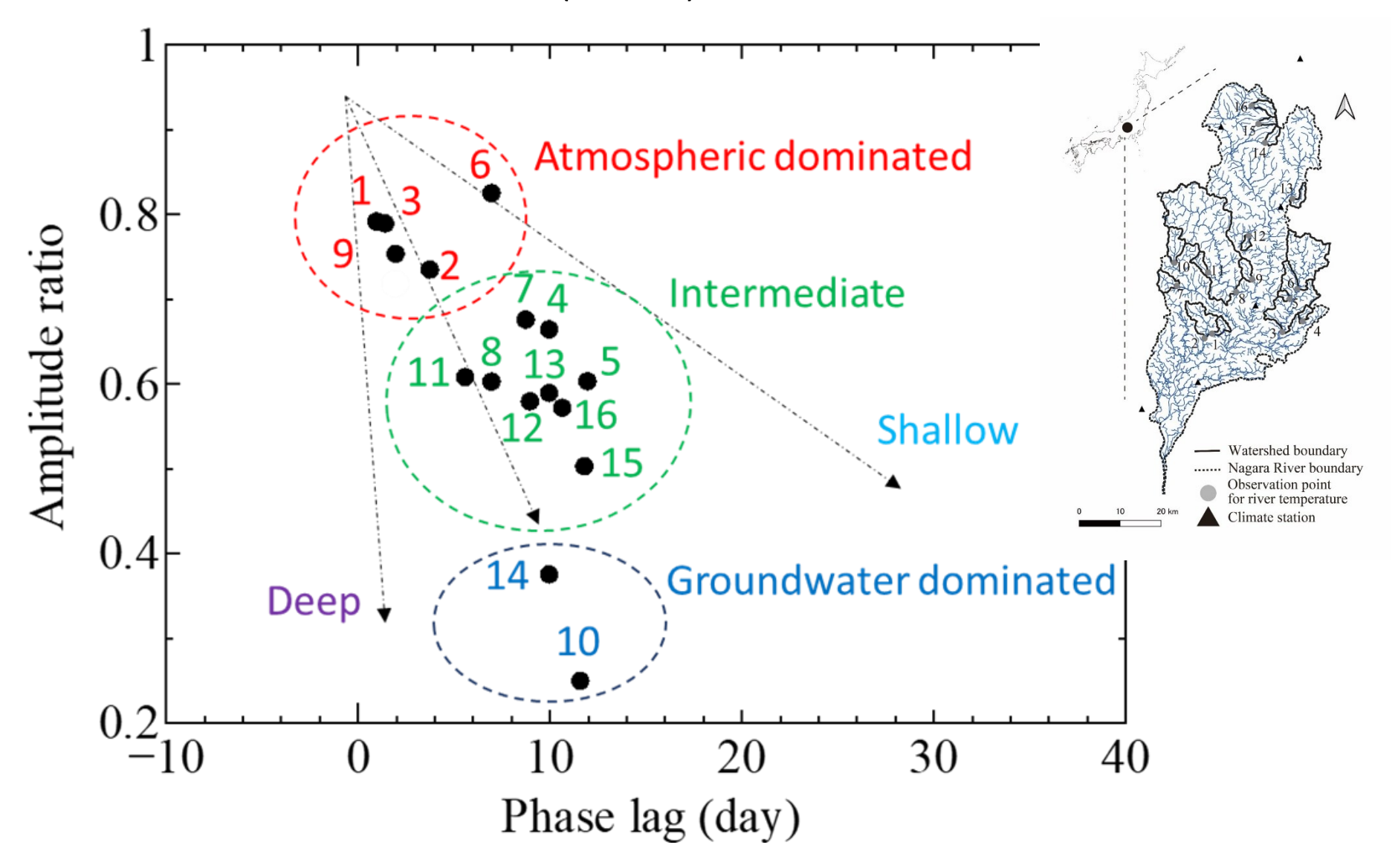
Figure S1. Daily air temperature, river water temperature, and precipitation for 16 tributaries of the Nagara River, 2017–2019

水温変動特性の簡易な分類法 Johnson (2020)



Two parameters: Phase shift, Amplitude ratio

Johnson et al. (2020)による流域の分類



降雨時・無降雨時の水温変動特性

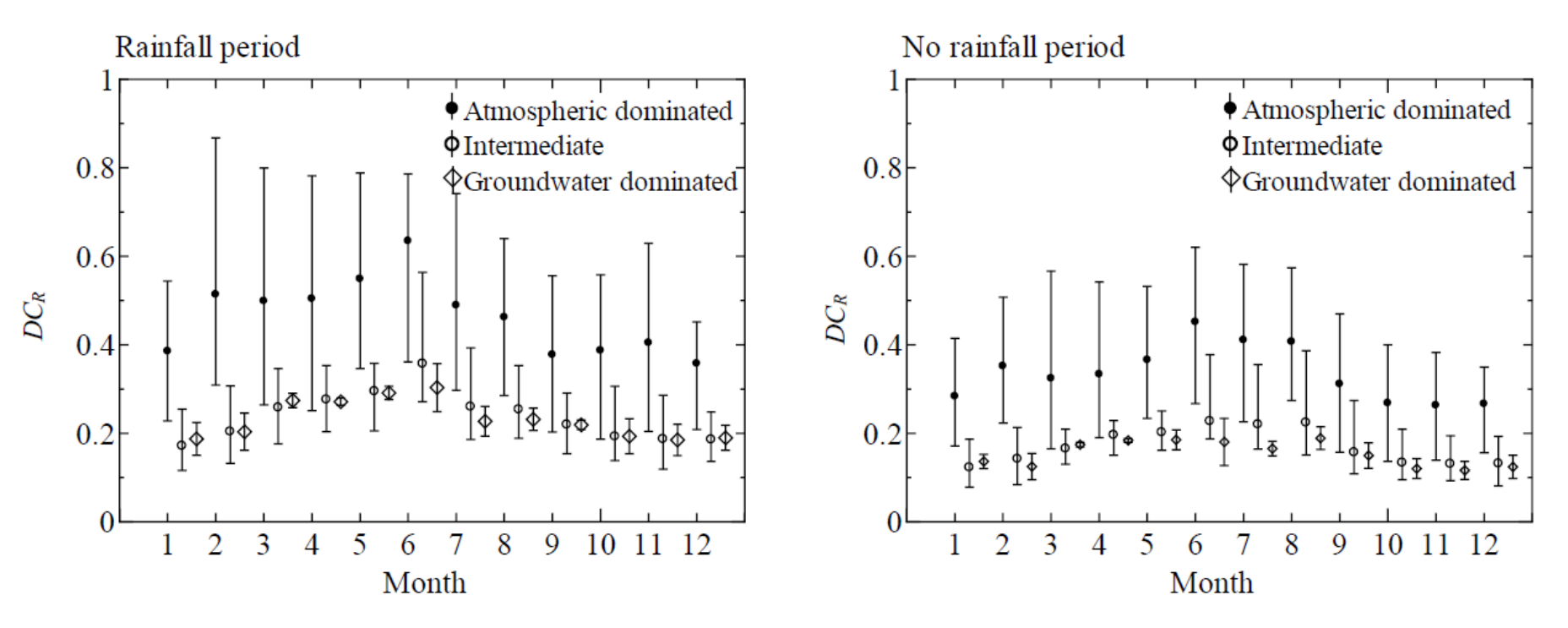


Figure 3. Seasonal trend in diurnal change of river temperature. Precipitation period (left panel) and non-precipitation period (right panel) were separately tallied. DC_R represents the diurnal change in river temperature

降雨時の水温低下・上昇幅

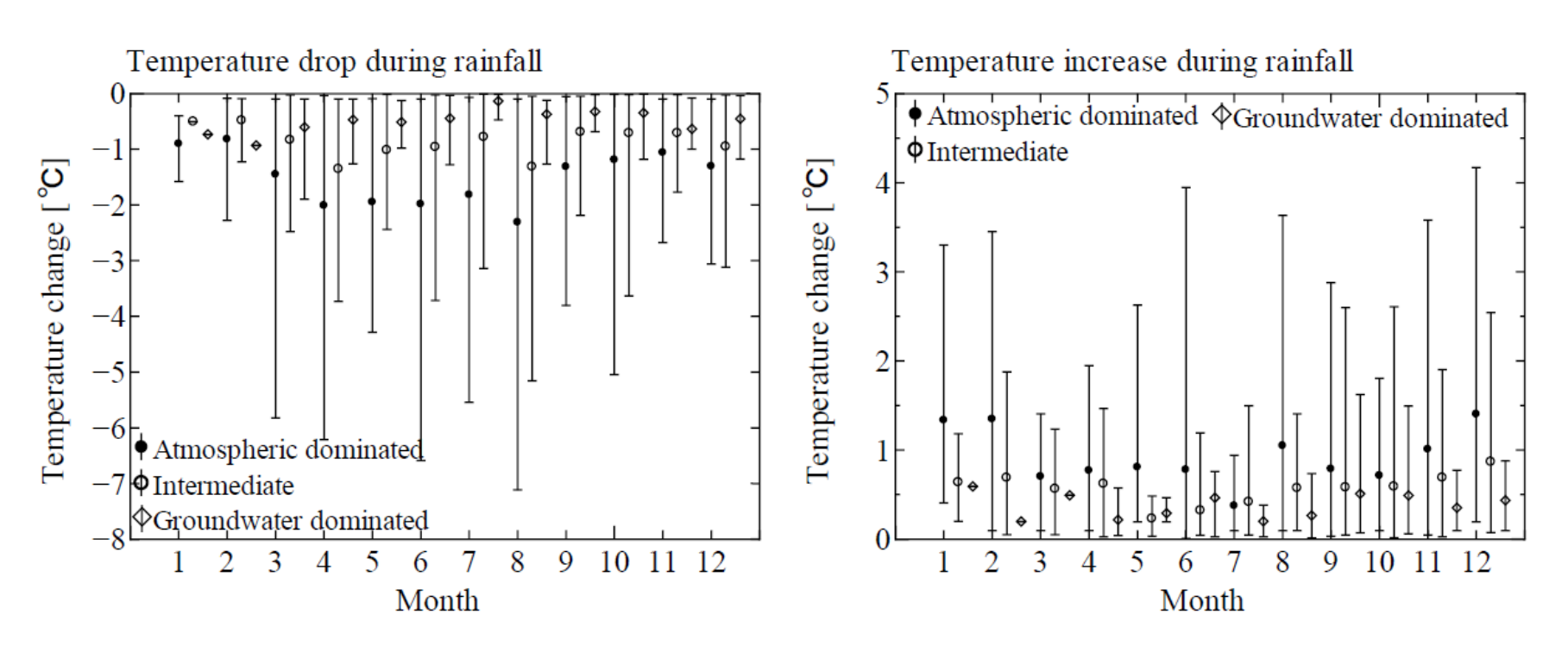


Figure 4. Monthly change of temperature drop/increase during the period of rainfall (left panel: temperature drop; right panel: temperature increase)

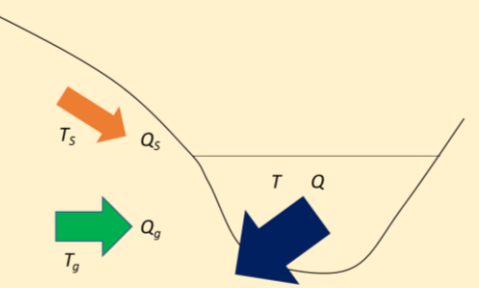
SWATモデルの改良 - 水温形成を考慮 -

Modification of SWAT model –

地中水と地下水の水温モデルを組み合わせる

$$T_{\text{water}} = \left(T_s \cdot Q_s + T_g \cdot Q_g \right) / Q$$

 $Q = Q_s + Q_g$



 Q_s : 地表水、側方流

 Qg: 地下水流

 Twater: 河川水温

 Tc: 土壌温度

 T_a : 地下水温

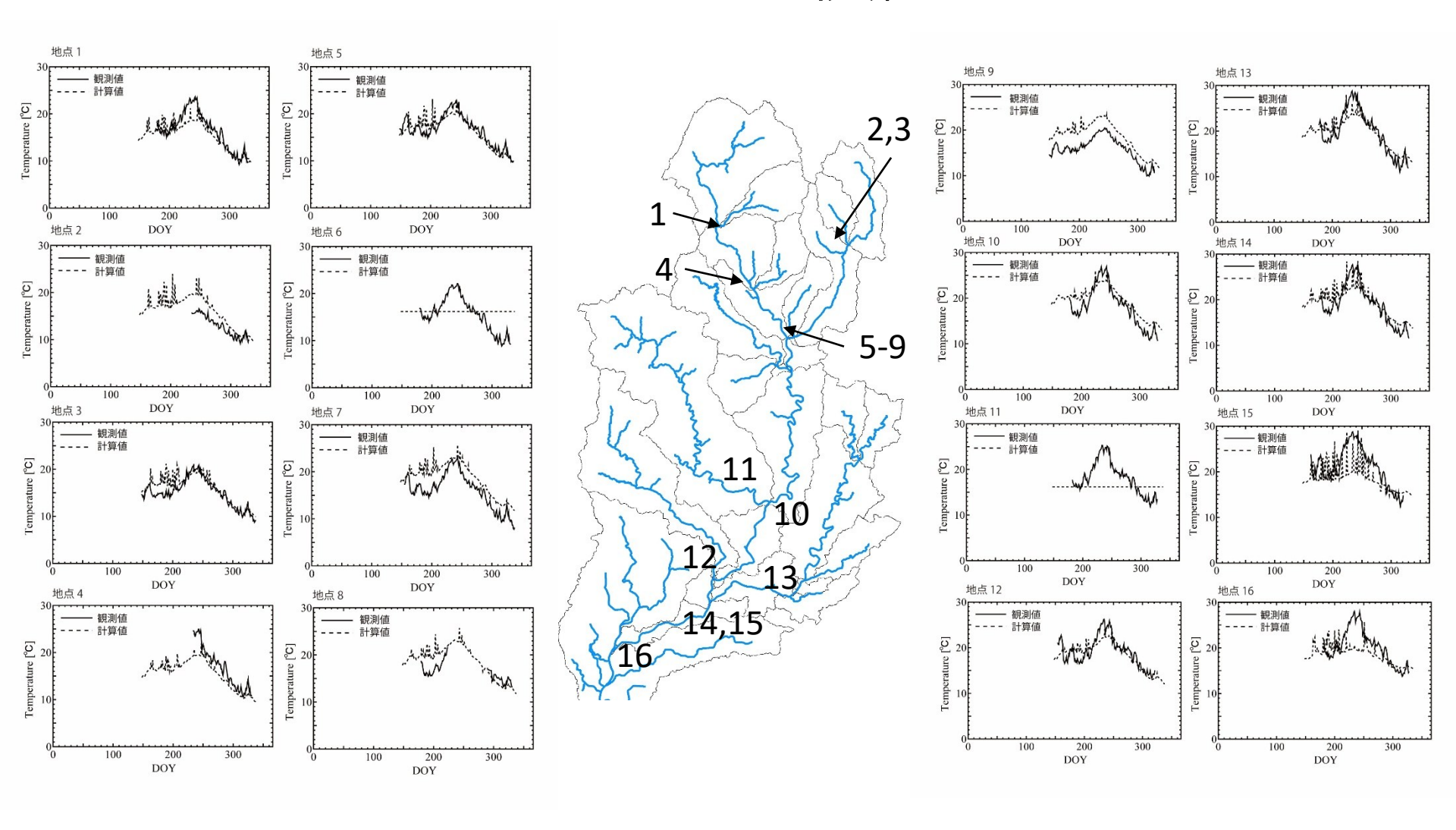
修正したモジュール

- subbasin
- simulate

新たに

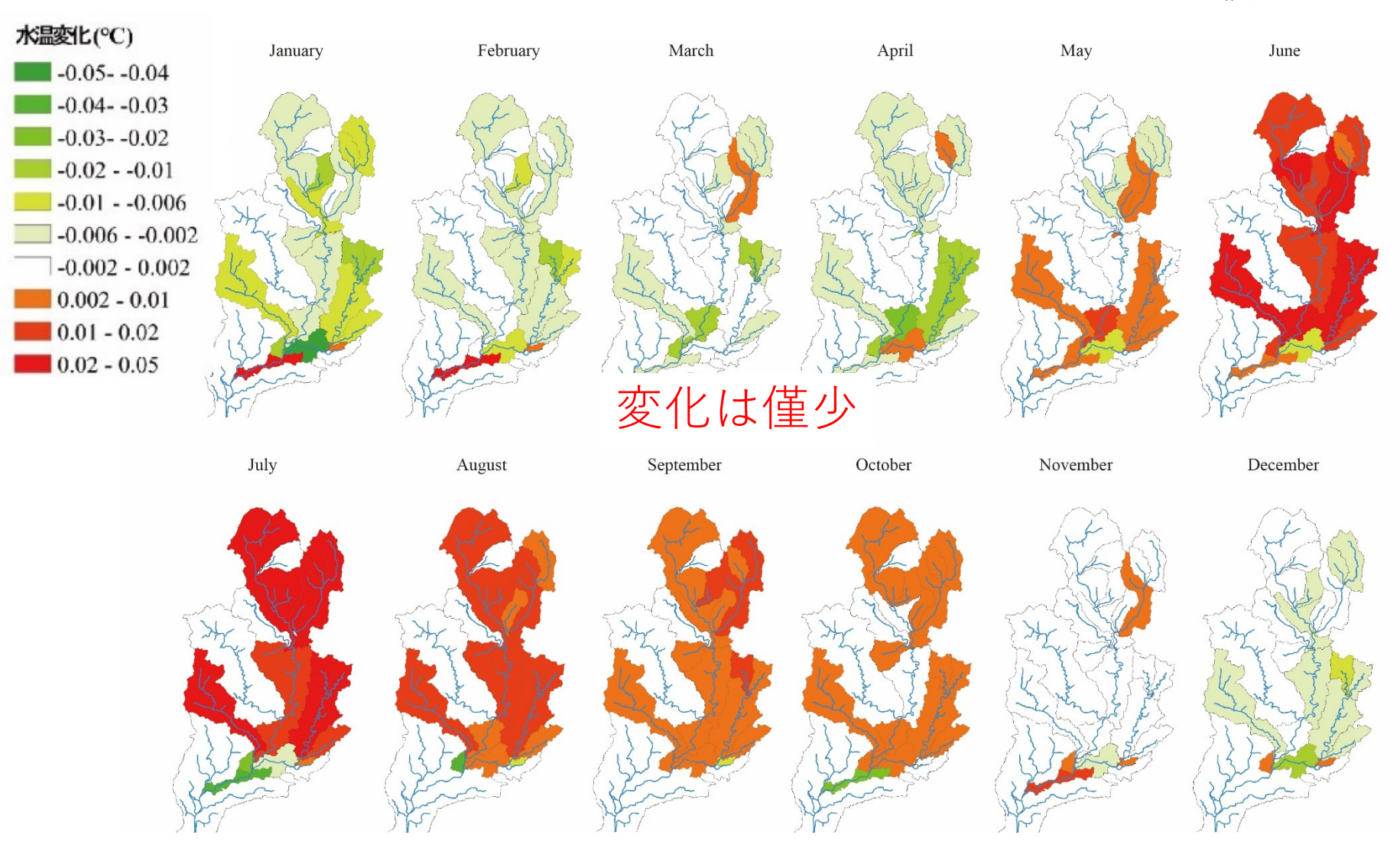
・gndwat tmp サブルーチンを作成

モデルの検証

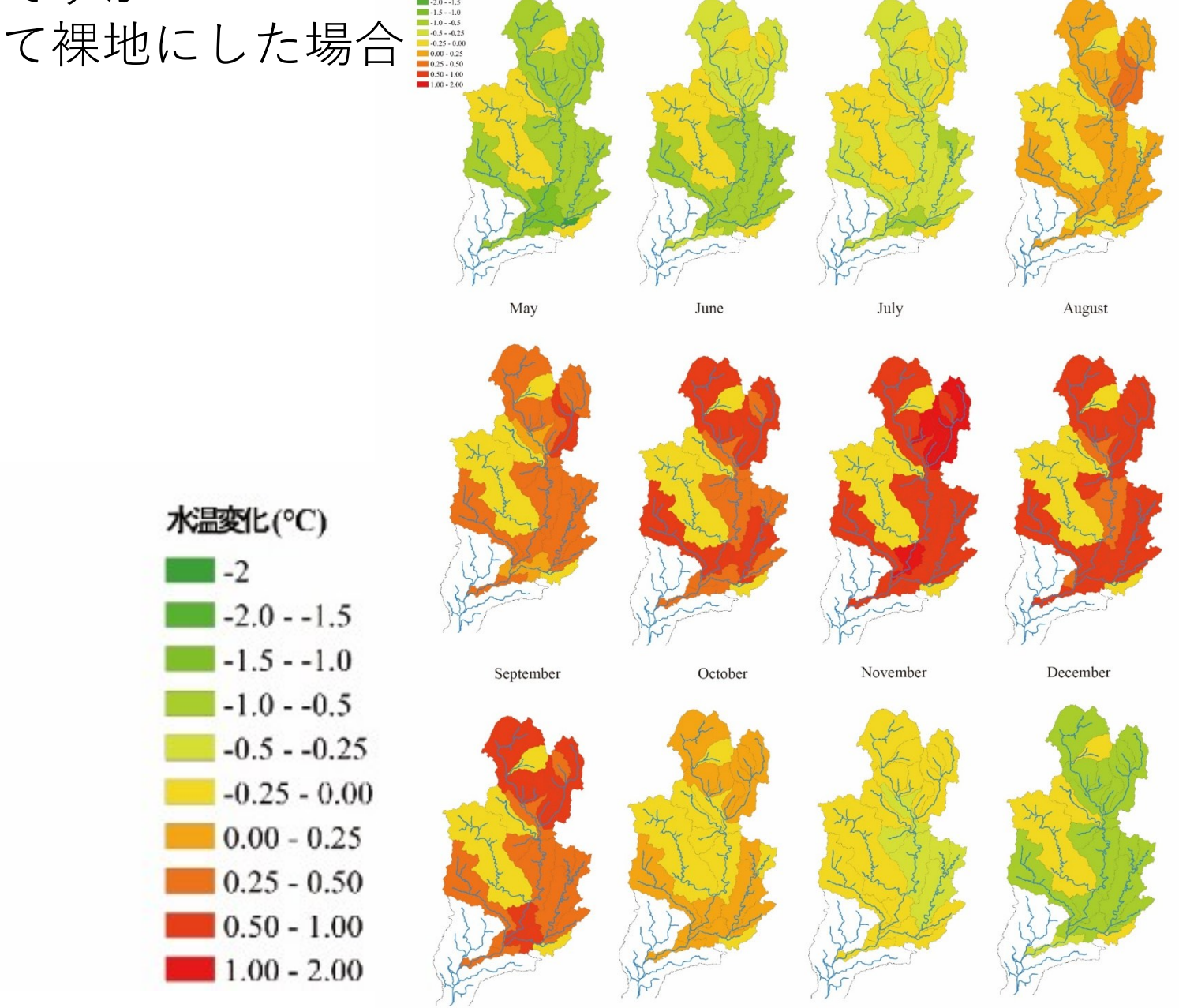


針葉樹林をすべて広葉樹林にした場合の水温変化

現在の気象条件(2004-2013、気象庁の地上観測データ)のもとで土地利用のみ変化させたときに変化を月平均で比較



極端な例ですが・・・ 人工林をすべて裸地にした場合



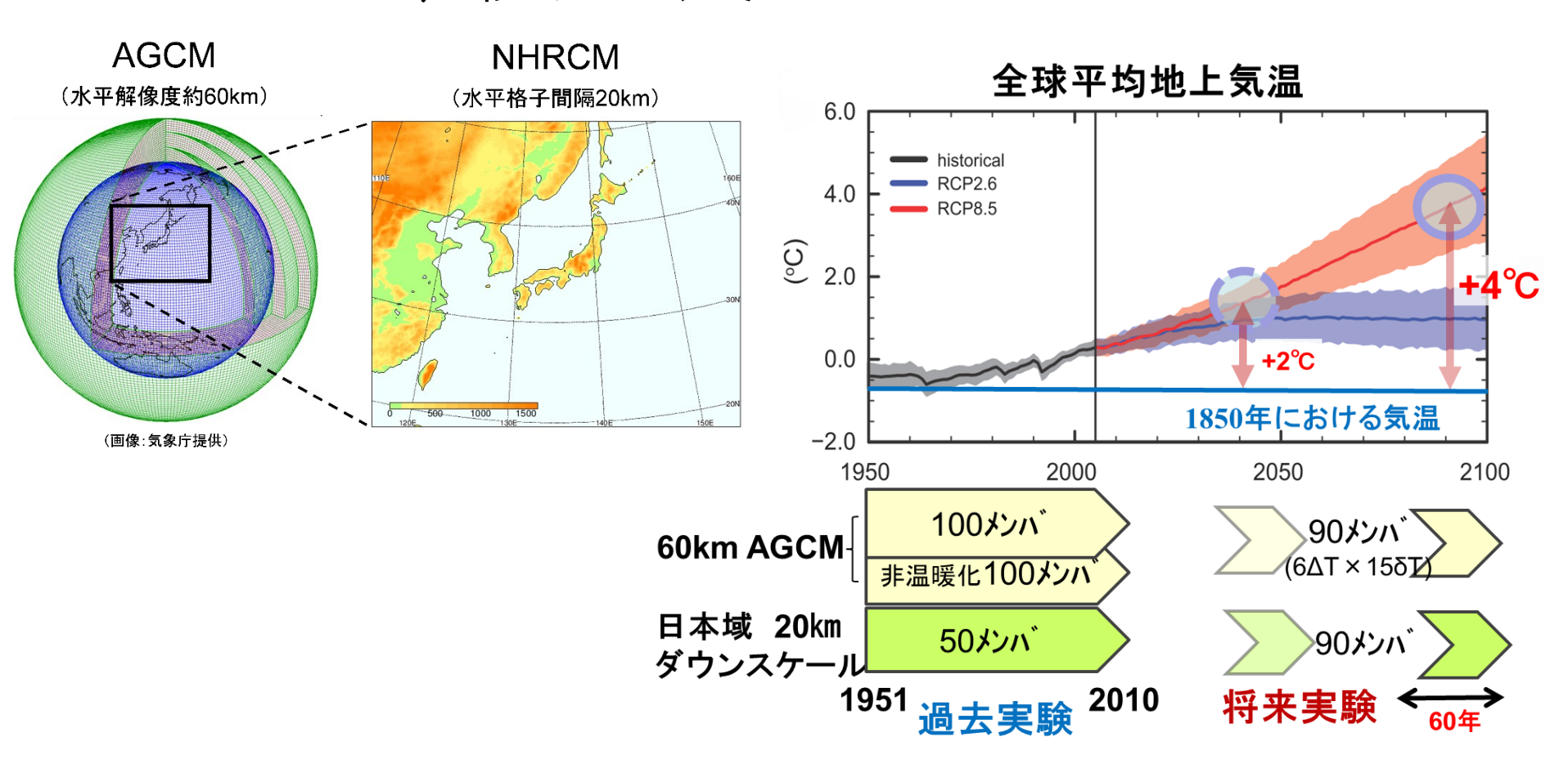
January

February

March

April

今後の展望:d4PDF



http://www.miroc-gcm.jp/~pub/d4PDF/design.html